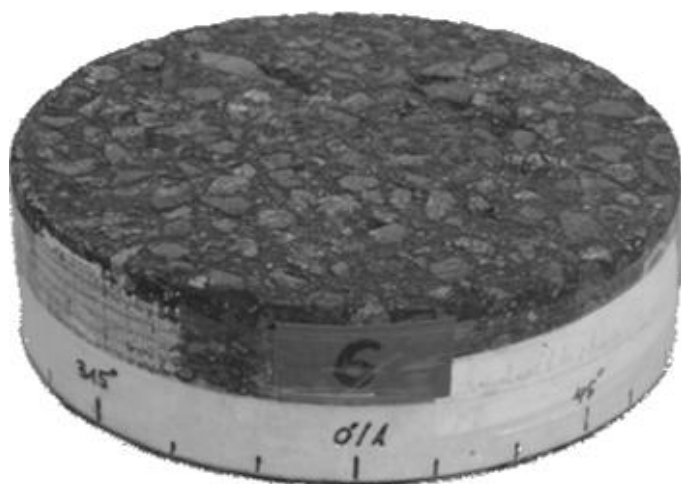
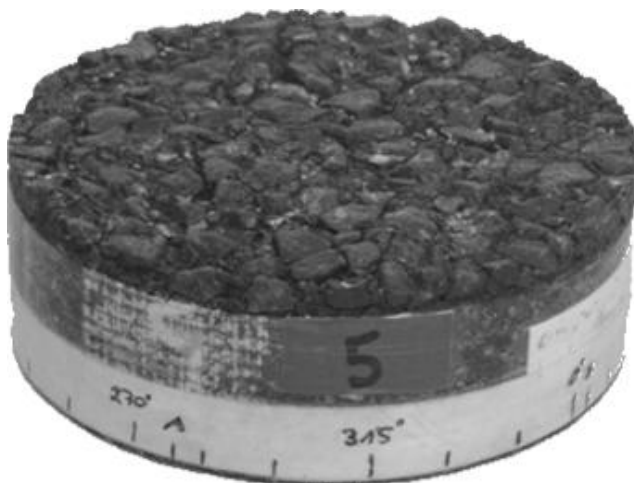
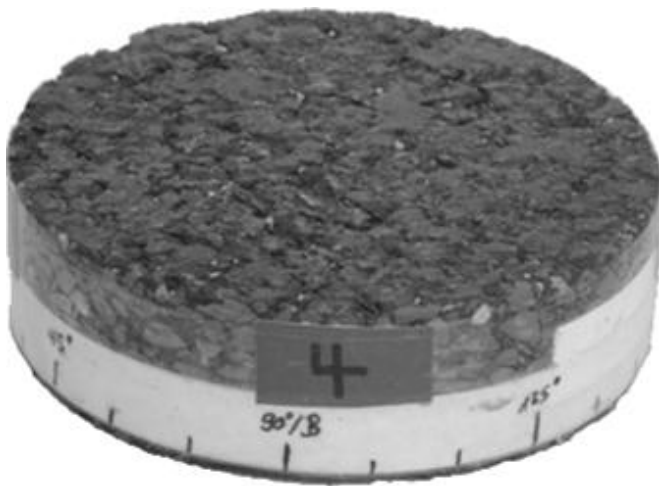
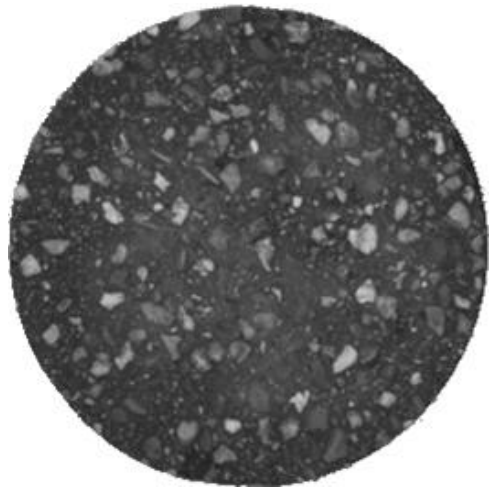
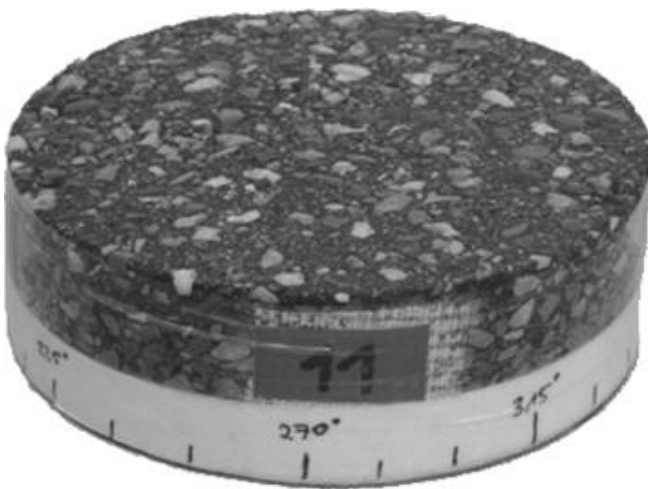
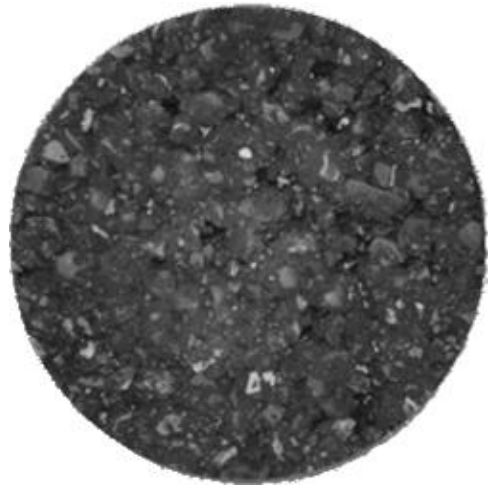
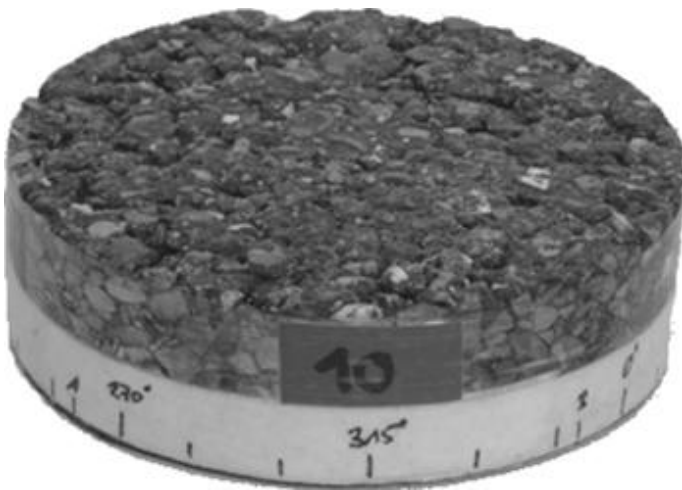
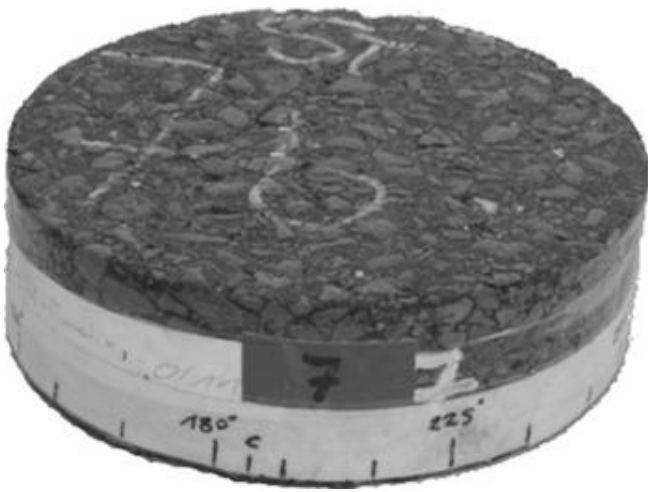


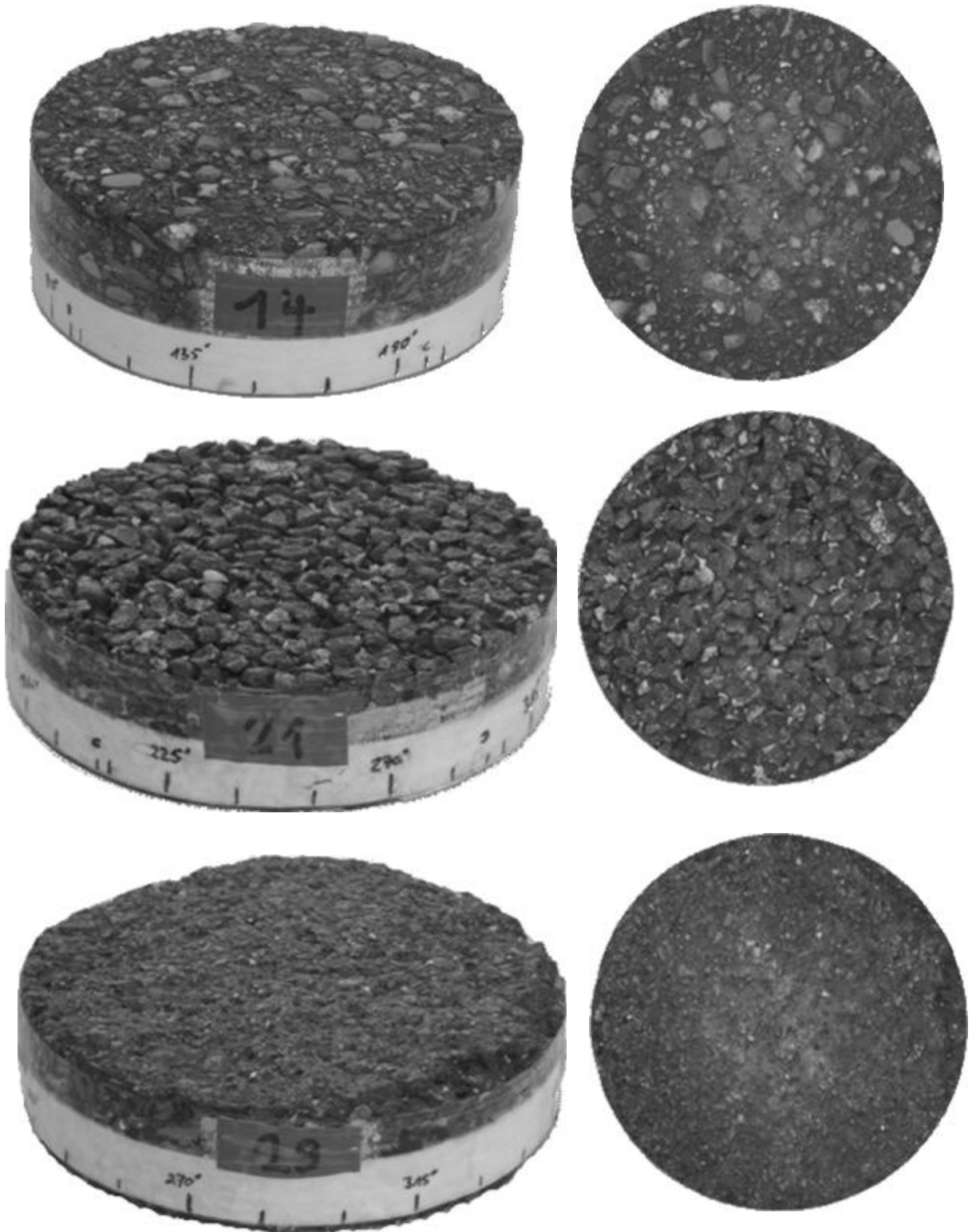
Anhang

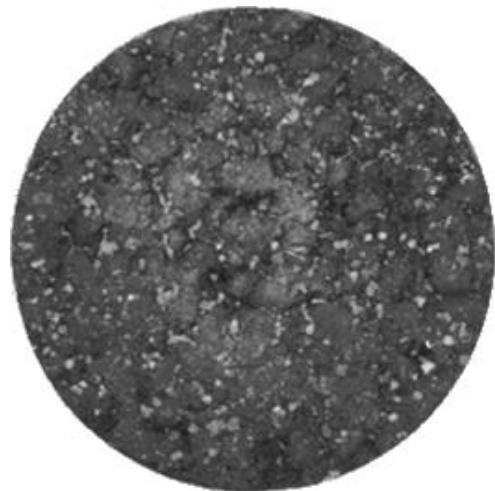
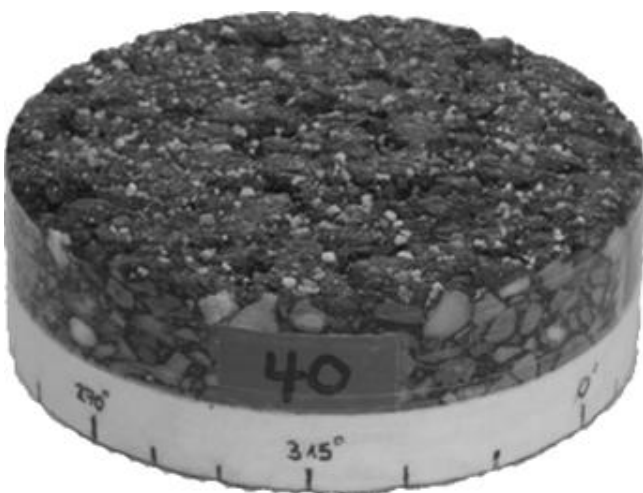
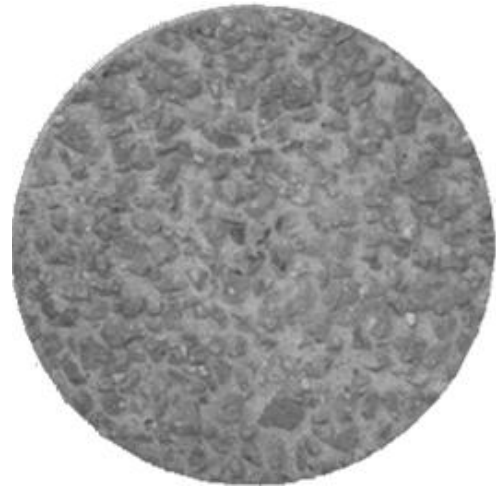
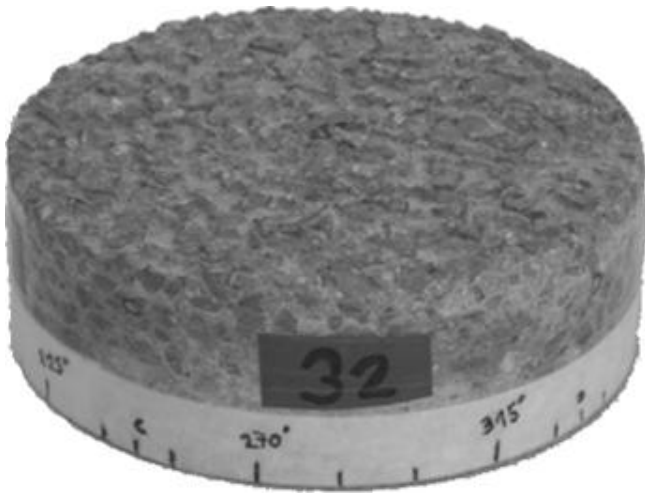
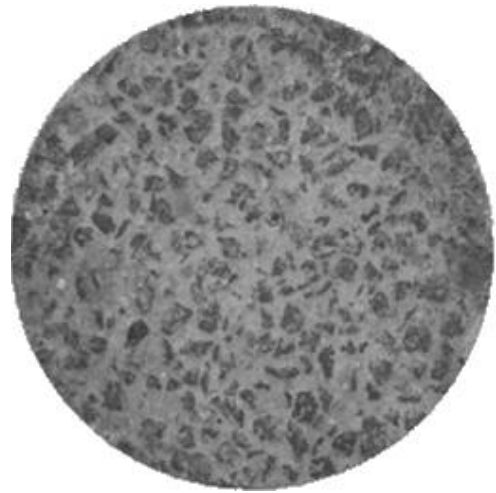
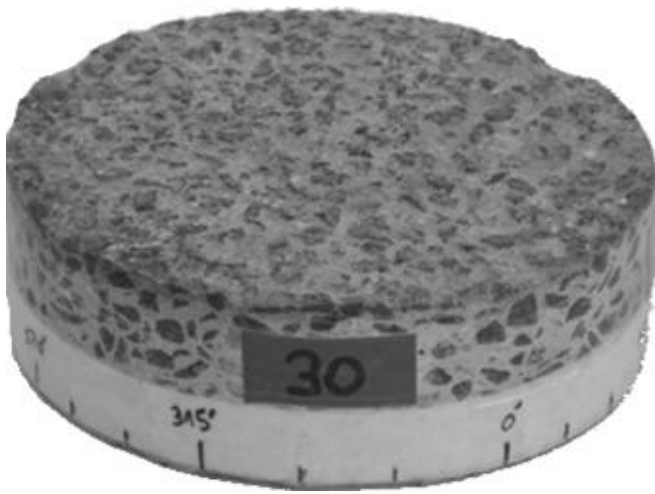
Anhang I: Vorhandene Fahrbahnproben

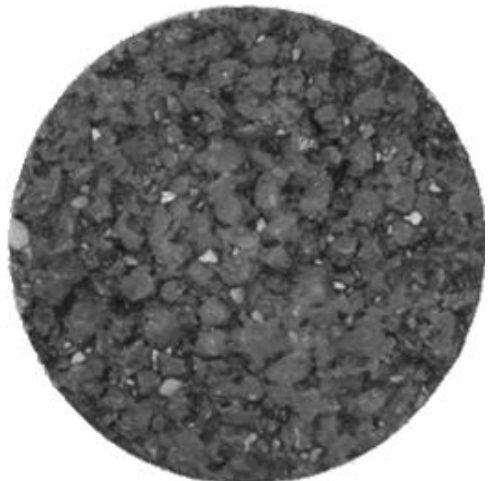
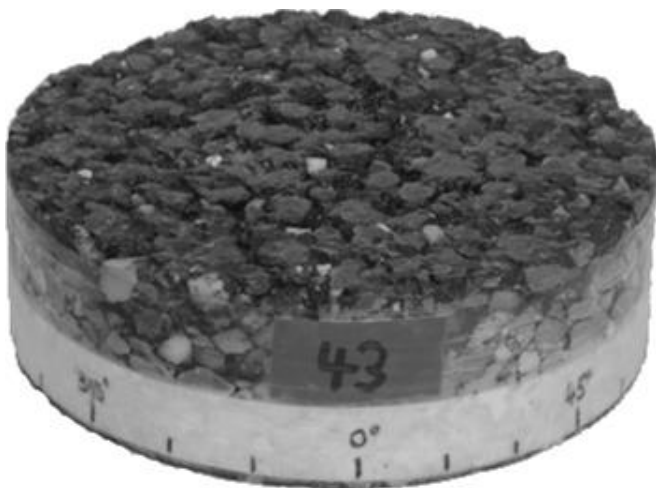
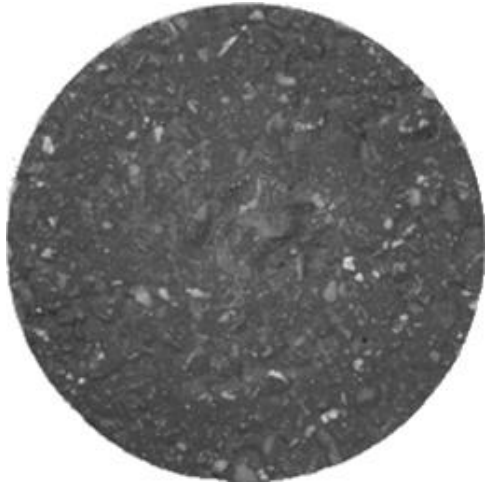
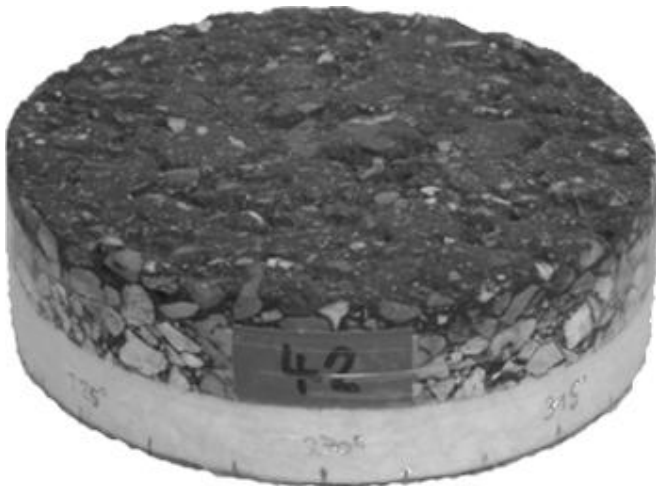
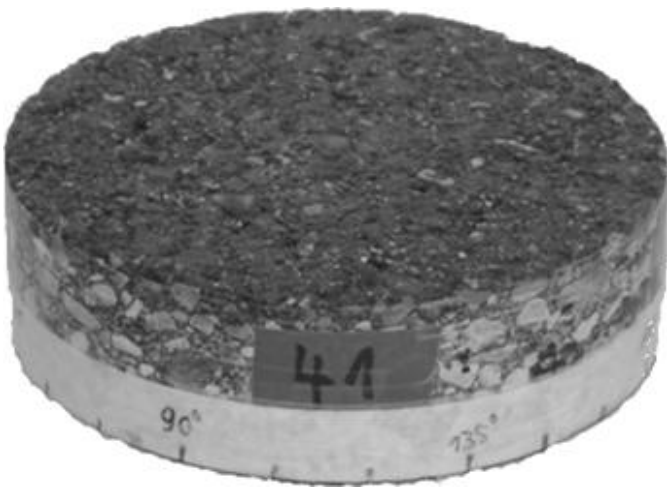
Die Nummerierung der Bohrkernproben stimmt mit den Angaben in den Abbildungen und Tabellen überein.

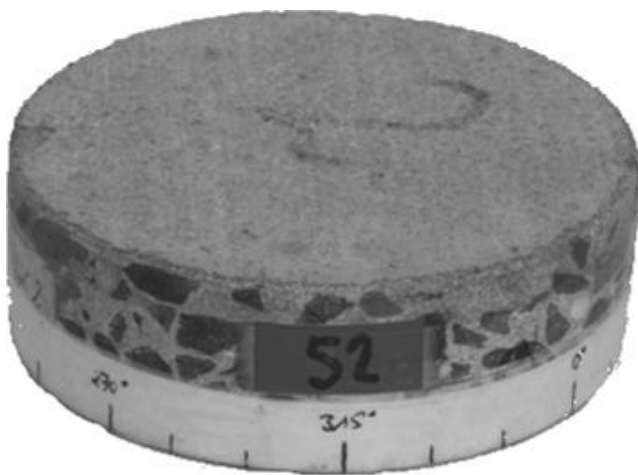
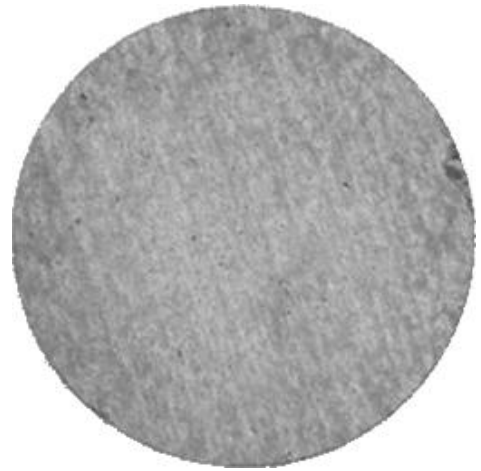
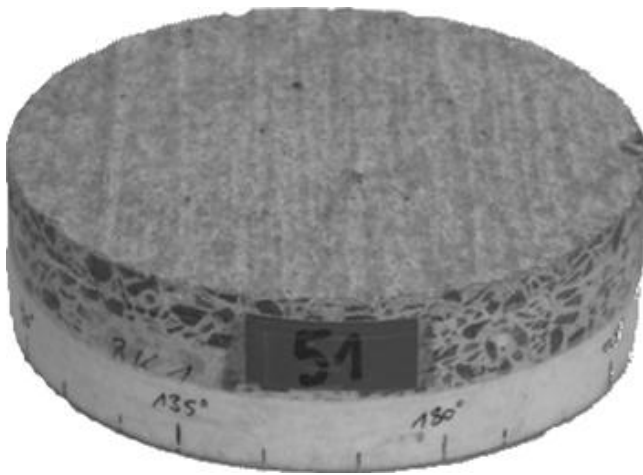
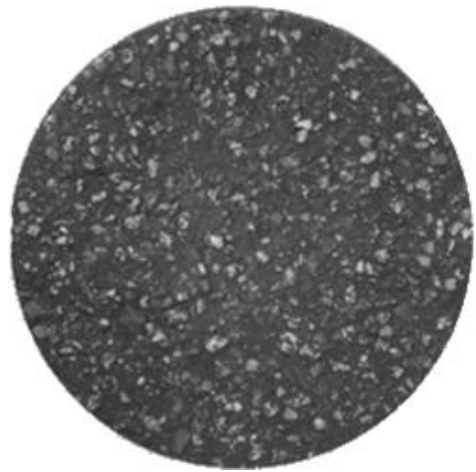
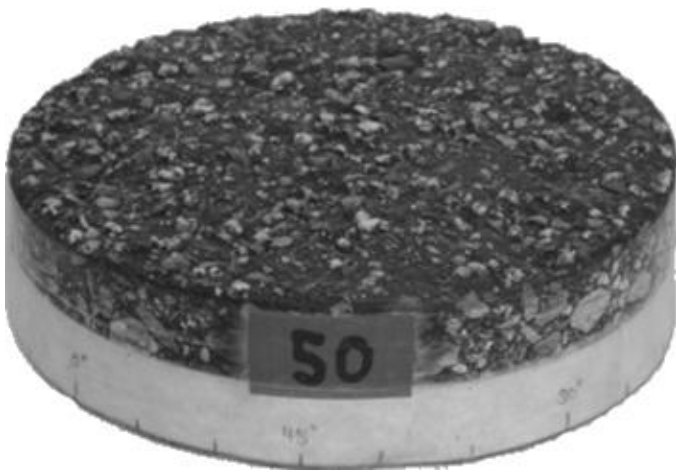


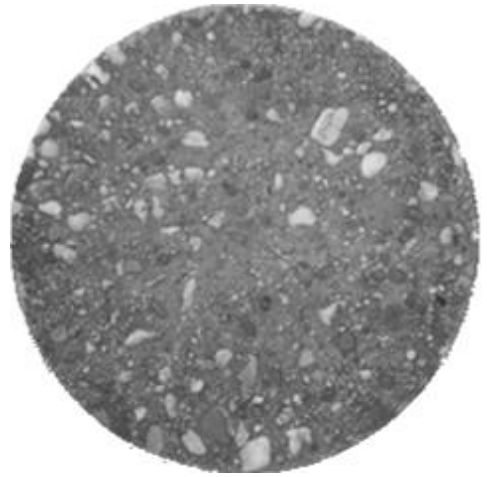
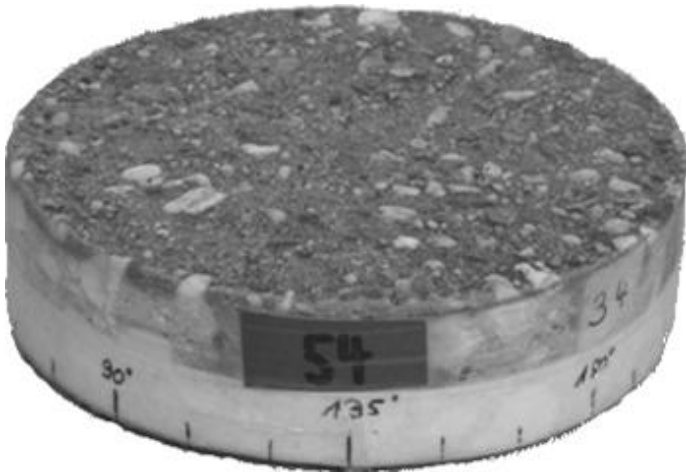
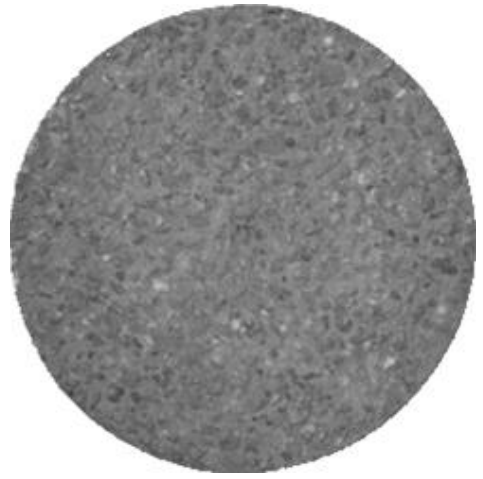
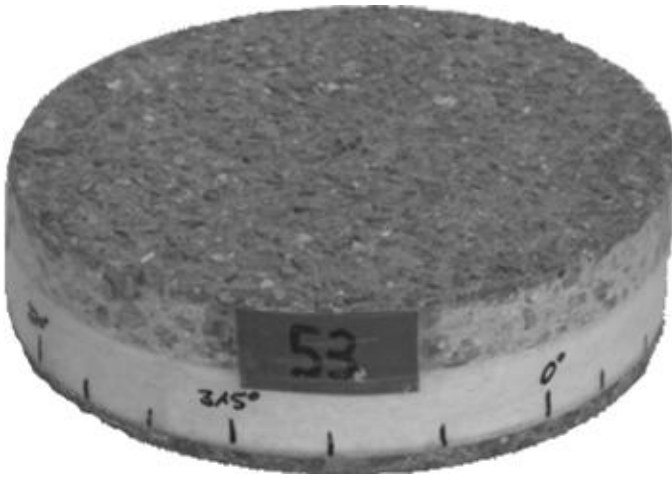












Anhang II: Übersicht der verfügbaren realen Fahrbahtexturen

Proben mit realer Fahrbahtextur						Elektr. Ausflussmesser		Ausflussmesser	Sandfleck	SRT-Messung	SRT-Modifiziert
Bohrkern-Nr.	Art	Herkunft	Größtkorn [mm]	Abkürzung	MPD [mm]	ETD [mm]	OT _p [s]	MTD [mm]	SRT [-]	SRT _{GAT} [-]	
4	Splitmastix	Projectworkshop	8	SMA 0/8	0,64	0,71	3,77	0,62	66,30		
5	grobe Deckschicht	Projectworkshop	11	SMA 11	1,27	1,21	0,99	1,09	50,44		
6	Asphaltbeton	Projectworkshop	11	AC 0/11	0,33	0,46	6,91	0,36	50,32		
7	Splitmastix	Projectworkshop	11	SMA 0/11	0,36	0,48	4,71	0,48	58,19		
10	Splitmastix	Projectworkshop	16	SMA 0/16	0,97	0,97	2,18	0,79	66,92		
11	Asphaltbeton	Projectworkshop	8	AC 0/8	0,45	0,56	7,72	0,44	55,35		
14	Splitmastix	Projectworkshop		SMA 0/11	0,63	0,70	2,71	0,68	46,12		
21	Offenporiger Asphalt	Projectworkshop	11	OPA 11	1,27	1,21	1,38	1,10	39,05		
29	feine Deckschicht	Projectworkshop	5	OPA 5	0,97	0,97	1,35	0,72	68,01		
30	künstliche Betonprobe	Projectworkshop			0,82	0,86	1,52	0,93	60,78		
32	künstliche Betonprobe	Projectworkshop			1,28	1,23	0,85	1,25	61,80		
40	Splitmastix	ISE			0,90	0,91	2,80	0,77	63,14		
41	Splitmastix	ISE			0,42	0,54	12,64	0,40	64,93		
42	Splitmastix	ISE			0,75	0,80	3,57	0,59	63,98		
43	Splitmastix	ISE			0,83	0,87	2,15	0,84	51,45		
50	Gussasphalt	BAST	11	GA 0/11S	0,90	0,92	1,52	0,94	53,91		
51	Beton	BAST			0,31	0,45	7,62	0,40	66,38		
52	Beton	BAST			0,31	0,45	10,41	0,33	65,00		
53	Waschbeton	BAST			0,67	0,74	2,14	0,69	57,61		
54	Beton	BAST			0,56	0,65	2,49	0,65	52,33		
4H	Kunstharz & Korund	FAST			0,67	0,73	2,84	0,71	61,35	0,63	
5H	Kunstharz & Korund	FAST			1,57	1,46	0,93	1,23	56,60	0,58	
6H	Kunstharz & Korund	FAST			0,33	0,46	6,46	0,47	51,75	0,49	
7H	Kunstharz & Korund	FAST			0,37	0,50	4,34	0,57	61,20	0,54	
10H	Kunstharz & Korund	FAST			1,13	1,11	1,78	0,90	65,85	0,62	
11H	Kunstharz & Korund	FAST			0,47	0,57	6,43	0,57	57,75	0,67	
14H	Kunstharz & Korund	FAST			0,71	0,76	2,51	0,71	57,33	0,55	
21H	Kunstharz & Korund	FAST			1,13	1,10	1,32	1,23	51,95	0,49	
29H	Kunstharz & Korund	FAST			0,94	0,95	1,36	0,81	71,00	0,60	
30H	Kunstharz & Korund	FAST			0,84	0,87	1,34	1,05	64,65	0,62	
32H	Kunstharz & Korund	FAST			1,34	1,28	0,77	1,35	59,55	0,66	
40H	Kunstharz & Korund	FAST			0,88	0,90	2,23	0,83	74,00	0,73	
41H	Kunstharz & Korund	FAST			0,37	0,50	5,44	0,46	64,35	0,69	
42H	Kunstharz & Korund	FAST			0,79	0,83	3,36	0,65	64,40	0,63	
43H	Kunstharz & Korund	FAST			0,86	0,90	1,96	0,91	53,30	0,55	
50H	Kunstharz & Korund	FAST			0,92	0,93	1,43	1,05	56,35	0,66	
51H	Kunstharz & Korund	FAST			0,38	0,51	7,71	0,49	60,45	0,50	
52H	Kunstharz & Korund	FAST			0,33	0,46	11,87	0,37	54,15	0,41	
53H	Kunstharz & Korund	FAST			0,77	0,81	2,06	0,83	58,95	0,64	
54H	Kunstharz & Korund	FAST			0,56	0,65	2,52	0,77	62,40	0,56	

Anhang III: Übersicht der verfügbaren künstlichen Fahrbahntexturen

Proben mit künstlicher Textur (Kugeloberflächen)										
Bohrkern-Nr.	Art	Herkunft	Makro- Textur (Kugelform)	Bestreuung mit Mikro- Kugeln	Elektr. Ausflussmesser		Ausflussmesser	Sandfleck	SRT-Messung	SRT-Modifiziert
					MPD [mm]	ETD [mm]	OT _p [s]	MTD [mm]	SRT [-]	SRTGAT [-]
100H	Kunstharz & Korund	FAST	2mm	ohne	0,43	0,54	5,48	0,51	33,30	0,29
101H	Kunstharz & Korund	FAST	3mm	ohne	0,71	0,77	2,95	0,73	25,60	0,21
102H	Kunstharz & Korund	FAST	4mm	ohne	1,04	1,04	1,81	1,00	24,80	0,19
103H	Kunstharz & Korund	FAST	5mm	ohne	1,22	1,18	1,76	1,04	22,10	0,15
104H	Kunstharz & Korund	FAST	6mm	ohne	1,41	1,33	1,20	1,28	27,20	0,17
105H	Kunstharz & Korund	FAST	8mm	ohne	1,68	1,54	0,89	1,46	20,80	0,13
106H	Kunstharz & Korund	FAST	0mm	ohne	0,08	0,27	∞	0,00	24,60	0,15
112H	Kunstharz & Korund	FAST	4mm	40-80µm	0,91	0,92	2,04	0,94	83,00	0,97
114H	Kunstharz & Korund	FAST	6mm	40-80µm	1,23	1,19	1,18	1,13	83,20	0,96
115H	Kunstharz & Korund	FAST	8mm	40-80µm	1,51	1,41	0,90	1,40	83,20	0,95
116H	Kunstharz & Korund	FAST	0mm	40-80µm	0,12	0,30	∞	0,00	61,90	0,89
122H	Kunstharz & Korund	FAST	4mm	75-150µm	0,86	0,89	2,18	0,94	78,50	0,94
124H	Kunstharz & Korund	FAST	6mm	75-150µm	1,26	1,21	1,25	1,21	79,30	0,91
125H	Kunstharz & Korund	FAST	8mm	75-150µm	1,52	1,41	0,92	1,38	78,30	0,88
126H	Kunstharz & Korund	FAST	0mm	75-150µm	0,12	0,29	109,01	0,00	58,60	0,89
132H	Kunstharz & Korund	FAST	4mm	180-300µm	0,81	0,85	2,31	0,89	70,20	0,90
134H	Kunstharz & Korund	FAST	6mm	180-300µm	1,16	1,13	1,57	1,10	74,00	0,93
135H	Kunstharz & Korund	FAST	8mm	180-300µm	1,54	1,43	0,91	1,42	77,20	0,91
136H	Kunstharz & Korund	FAST	0mm	180-300µm	0,15	0,32	44,68	0,00	60,80	0,85
142H	Kunstharz & Korund	FAST	4mm	420-840µm	0,86	0,89	2,40	0,96	58,70	0,78
144H	Kunstharz & Korund	FAST	6mm	420-840µm	1,26	1,21	1,29	1,24	61,10	0,81
145H	Kunstharz & Korund	FAST	8mm	420-840µm	1,41	1,33	1,01	1,40	61,20	0,79
146H	Kunstharz & Korund	FAST	0mm	420-840µm	0,34	0,47	13,13	0,00	57,20	0,57

Anhang IV: Tabellarische Daten zur Fahrbahncharakterisierung

Bild 44			Bild 48		
MTD-Wert [mm]			MPD-Wert [mm]		
Bohrkern	Original	Kunstharz	Bohrkern	Original	Kunstharz
52	0,33	0,37	51	0,31	0,38
6	0,36	0,47	52	0,31	0,33
41	0,40	0,46	6	0,33	0,33
51	0,40	0,49	7	0,36	0,37
11	0,44	0,57	41	0,42	0,37
7	0,48	0,57	11	0,45	0,47
42	0,59	0,65	54	0,56	0,56
4	0,62	0,71	14	0,63	0,71
54	0,65	0,77	4	0,64	0,67
14	0,68	0,71	53	0,67	0,77
53	0,69	0,83	42	0,75	0,79
29	0,72	0,81	30	0,82	0,84
40	0,77	0,83	43	0,83	0,86
10	0,79	0,9	40	0,9	0,88
43	0,84	0,91	50	0,9	0,92
30	0,93	1,05	10	0,97	1,13
50	0,94	1,05	29	0,97	0,94
5	1,09	1,23	5	1,27	1,57
21	1,10	1,23	21	1,27	1,13
32	1,25	1,35	32	1,28	1,34

Bild 45			Bild 49		
MTD-Wert [mm]			MPD-Wert [mm]		
Bohrkern	Original	Kunstharz	Bohrkern	Original	Kunstharz
106			106		0,08
116			116		0,12
126			126		0,12
136			136		0,15
146			146		0,34
100		0,51	100		0,43
101		0,73	101		0,71
132		0,89	132		0,81
112		0,94	122		0,86
122		0,94	142		0,86
142		0,96	112		0,91
102		1,00	102		1,04
103		1,04	134		1,16
134		1,10	103		1,22
114		1,13	114		1,23
124		1,21	124		1,26
144		1,24	144		1,26
104		1,28	104		1,41
125		1,38	145		1,41
115		1,40	115		1,51
145		1,40	125		1,52
135		1,42	135		1,54
105		1,46	105		1,68

Bild 52			Bild 54			
OT_p-Wert [s]			Kunstharz			
Bohrkern	Original	Kunstharz	Bohrkern	MPD	OT _p	MTD
32	0,85	0,77	6	0,33	6,46	0,47
5	0,99	0,93	52	0,33	11,87	0,37
29	1,35	1,36	7	0,37	4,34	0,57
21	1,38	1,32	41	0,37	5,44	0,46
30	1,52	1,34	51	0,38	7,71	0,49
50	1,52	1,43	11	0,47	6,43	0,57
53	2,14	2,06	54	0,56	2,52	0,77
43	2,15	1,96	4	0,67	2,84	0,71
10	2,18	1,78	14	0,71	2,51	0,71
54	2,49	2,52	53	0,77	2,06	0,83
14	2,71	2,51	42	0,79	3,36	0,65
40	2,8	2,23	30	0,84	1,34	1,05
42	3,57	3,36	43	0,86	1,96	0,91
4	3,77	2,84	40	0,88	2,23	0,83
7	4,71	4,34	50	0,92	1,43	1,05
6	6,91	6,46	29	0,94	1,36	0,81
51	7,62	7,71	10	1,13	1,78	0,90
11	7,72	6,43	21	1,13	1,32	1,23
52	10,41	11,87	32	1,34	0,77	1,35
41	12,64	5,44	5	1,57	0,93	1,23

Bild 53			Bild 55			
OT_p-Wert [s]			Kunstharz			
Bohrkern	Original	Kunstharz	Bohrkern	MPD	OT _p	MTD
105		0,89	106	0,08		
115		0,90	116	0,12		
135		0,91	126	0,12	109,01	
125		0,92	136	0,15	44,68	
145		1,01	146	0,34	13,13	
114		1,18	100	0,43	5,48	0,51
104		1,20	101	0,71	2,95	0,73
124		1,25	132	0,81	2,31	0,89
144		1,29	122	0,86	2,18	0,94
134		1,57	142	0,86	2,4	0,96
103		1,76	112	0,91	2,04	0,94
102		1,81	102	1,04	1,81	1
112		2,04	134	1,16	1,57	1,1
122		2,18	103	1,22	1,76	1,04
132		2,31	114	1,23	1,18	1,13
142		2,40	124	1,26	1,25	1,21
101		2,95	144	1,26	1,29	1,24
100		5,48	104	1,41	1,2	1,28
146		13,13	145	1,41	1,01	1,4
136		44,68	115	1,51	0,9	1,4
126		109,01	125	1,52	0,92	1,38
106			135	1,54	0,91	1,42
116			105	1,68	0,89	1,46

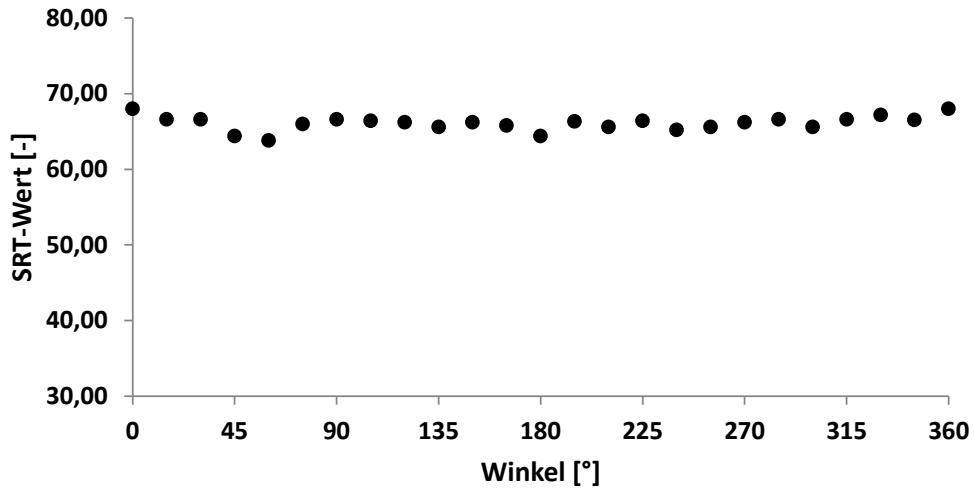
Bild 59			Bild 63		
SRT-Wert [-]			SRT_{GAT}-Wert [-]		
Bohrkern	Original	Kunstharz	Bohrkern	Original	Kunstharz
21	39,05	51,95	52		0,41
14	46,12	57,33	21		0,49
6	50,32	51,75	6		0,49
5	50,44	56,60	51		0,50
43	51,45	53,30	7		0,54
54	52,33	62,40	14		0,55
50	53,91	56,35	43		0,55
11	55,35	57,75	54		0,56
53	57,61	58,95	5		0,58
7	58,19	61,20	29		0,60
30	60,78	64,65	30		0,62
32	61,80	59,55	10		0,62
40	63,14	74,00	4		0,63
42	63,98	64,40	42		0,63
41	64,93	64,35	53		0,64
52	65,00	54,15	32		0,66
4	66,30	61,35	50		0,66
51	66,38	60,45	11		0,67
10	66,92	65,85	41		0,69
29	68,01	71,00	40		0,73

Bild 60			Bild 64		
SRT-Wert [-]			SRT_{GAT}-Wert [-]		
Bohrkern	Original	Kunstharz	Bohrkern	Original	Kunstharz
105		20,80	105		0,13
103		22,10	103		0,15
106		24,60	106		0,15
102		24,80	104		0,17
101		25,60	102		0,19
104		27,20	101		0,21
100		33,30	100		0,29
146		57,20	146		0,57
126		58,60	142		0,78
142		58,70	145		0,79
136		60,80	144		0,81
144		61,10	136		0,85
145		61,20	125		0,88
116		61,90	116		0,89
132		70,20	126		0,89
134		74,00	132		0,90
135		77,20	124		0,91
125		78,30	135		0,91
122		78,50	134		0,93
124		79,30	122		0,94
112		83,00	115		0,95
114		83,20	114		0,96
115		83,20	112		0,97

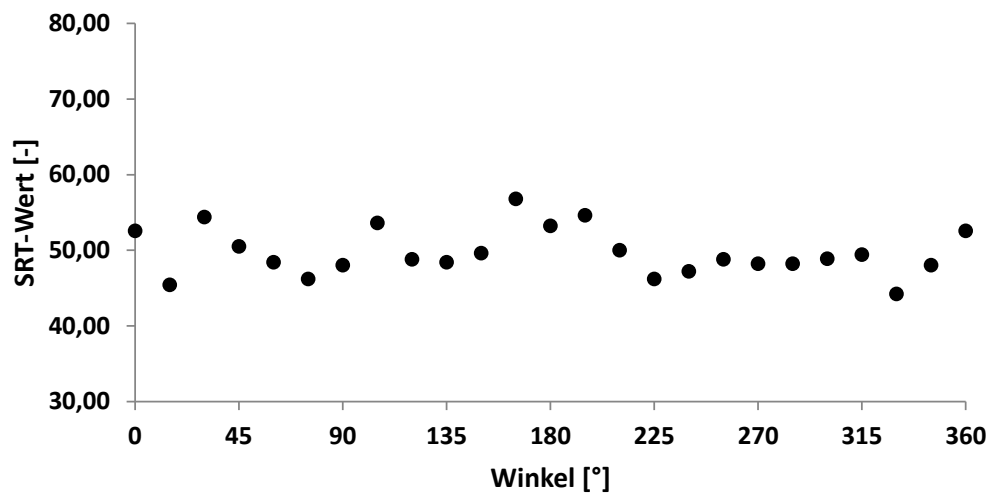
Bild 65 / 67 / 68		
Kunstharz		
Bohrkern	SRT	SRT _{GAT}
52	54,15	0,41
21	51,95	0,49
6	51,75	0,49
51	60,45	0,50
7	61,20	0,54
14	57,33	0,55
43	53,30	0,55
54	62,40	0,56
5	56,60	0,58
29	71,00	0,60
30	64,65	0,62
10	65,85	0,62
4	61,35	0,63
42	64,40	0,63
53	58,95	0,64
32	59,55	0,66
50	56,35	0,66
11	57,75	0,67
41	64,35	0,69
40	74,00	0,73
Bild 66 / 67 / 68		
Kunstharz		
Bohrkern	SRT	SRT _{GAT}
105	20,80	0,13
103	22,10	0,15
106	24,60	0,15
104	27,20	0,17
102	24,80	0,19
101	25,60	0,21
100	33,30	0,29
146	57,20	0,57
142	58,70	0,78
145	61,20	0,79
144	61,10	0,81
136	60,80	0,85
125	78,30	0,88
116	61,90	0,89
126	58,60	0,89
132	70,20	0,90
124	79,30	0,91
135	77,20	0,91
134	74,00	0,93
122	78,50	0,94
115	83,20	0,95
114	83,20	0,96
112	83,00	0,97

Anhang V: SRT-Verläufe der Originalbohrkerne

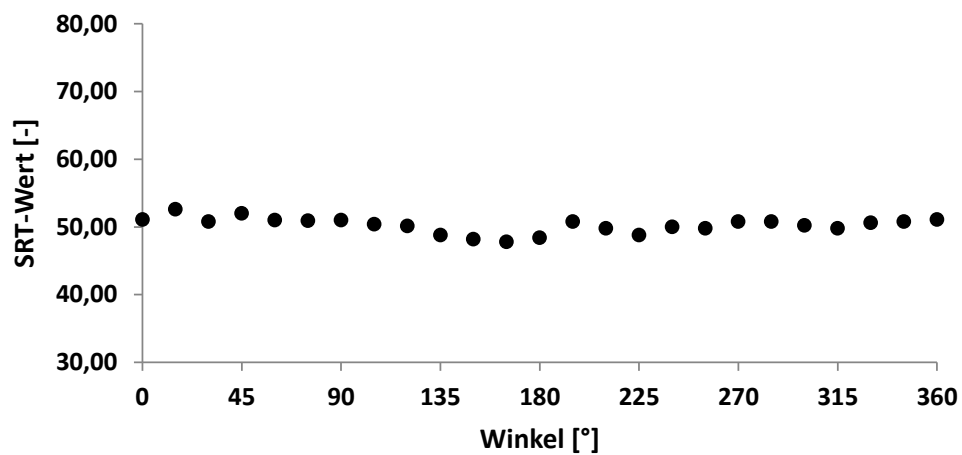
Bohrkern 4



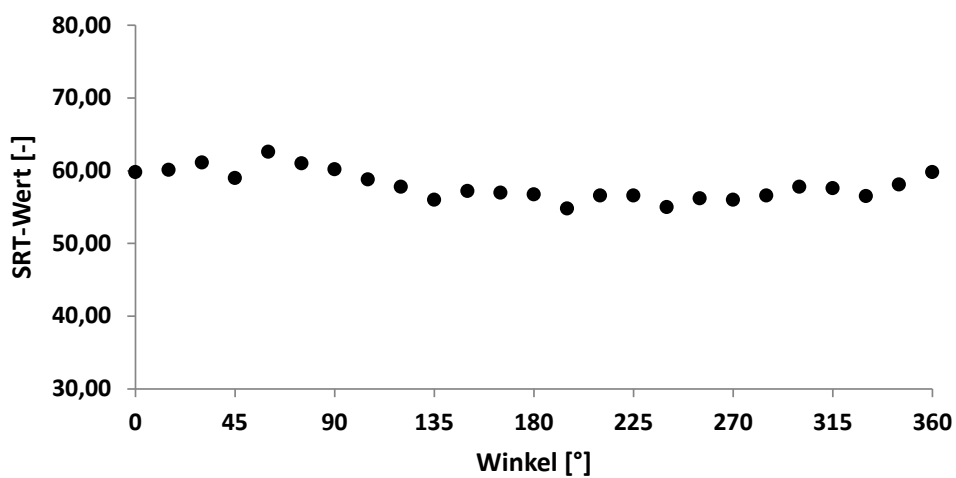
Bohrkern 5



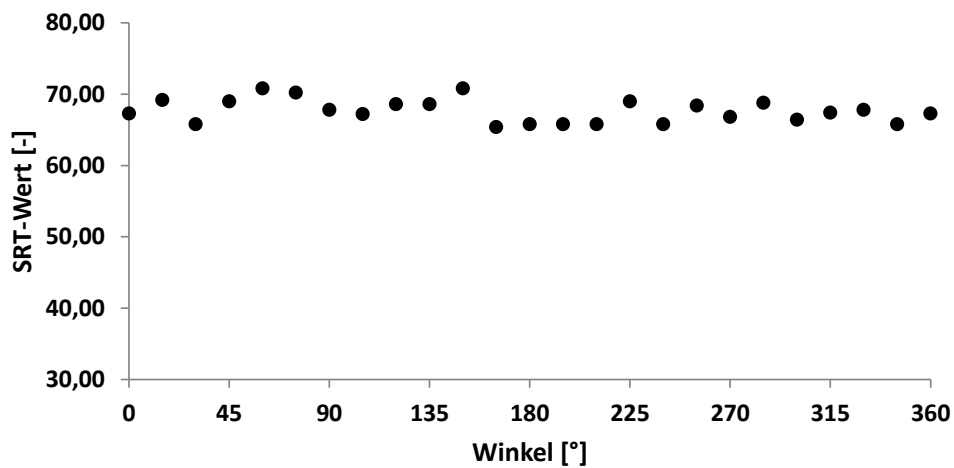
Bohrkern 6



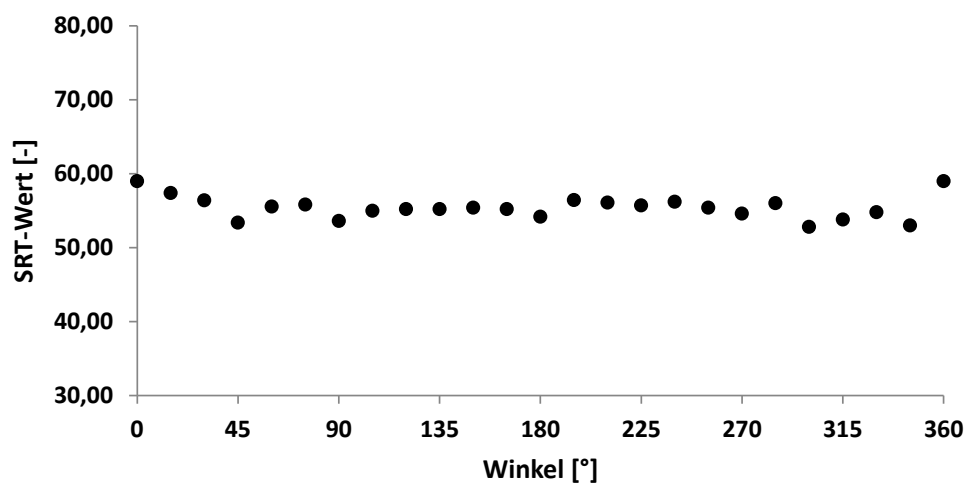
Bohrkern 7



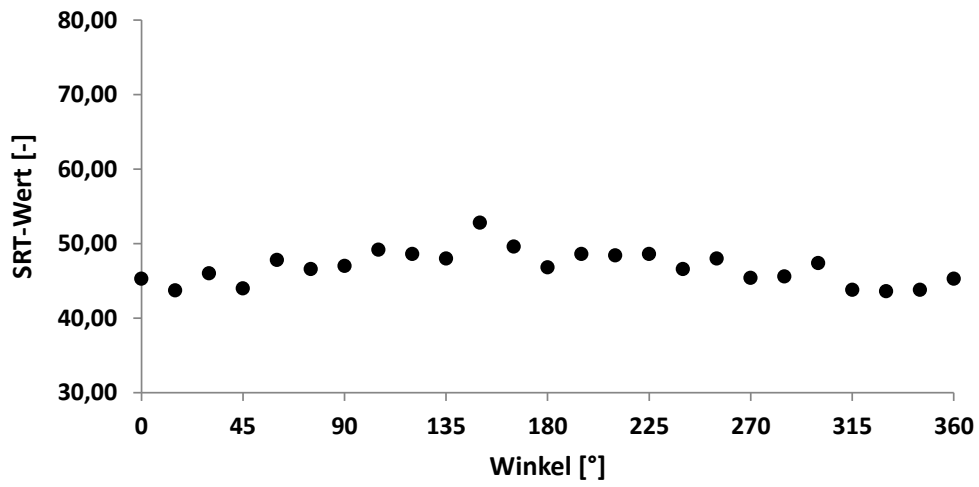
Bohrkern 10



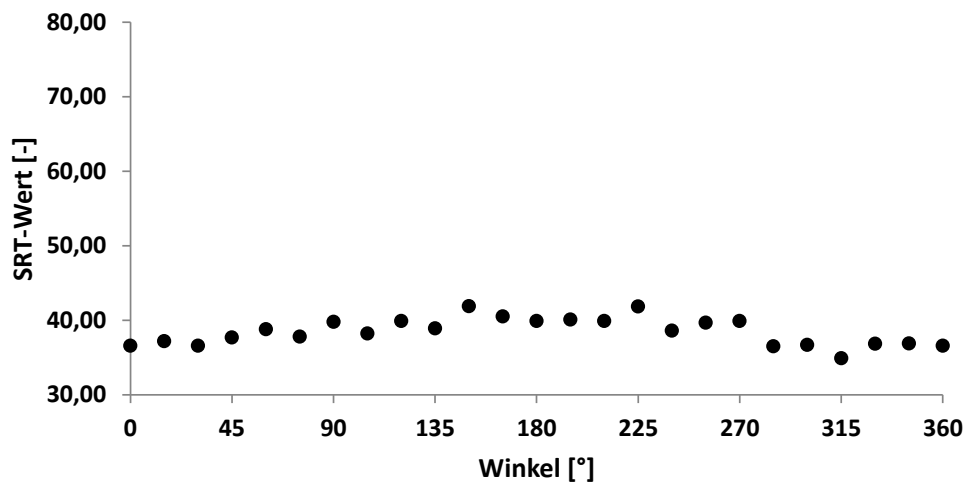
Bohrkern 11



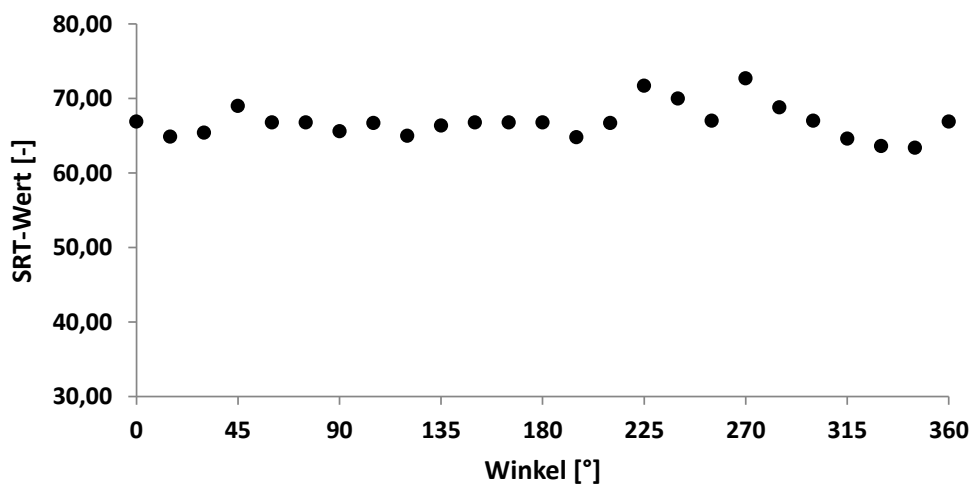
Bohrkern 14



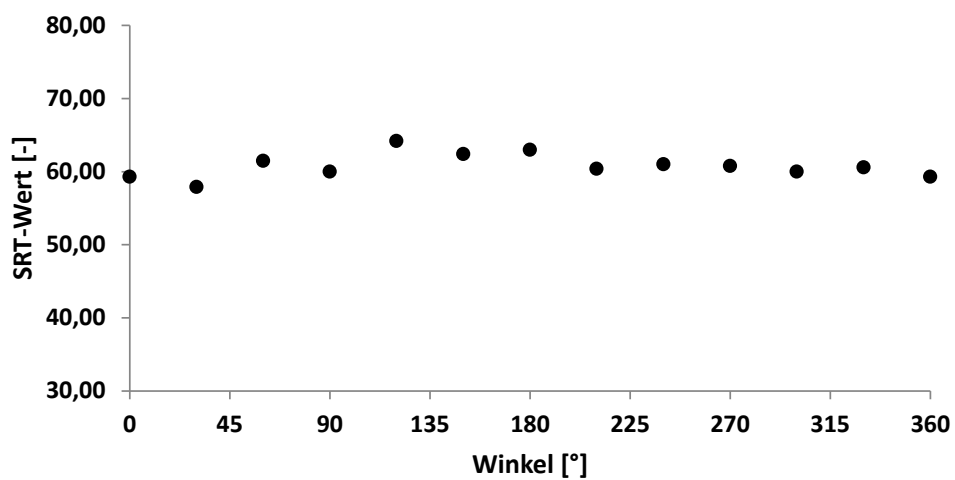
Bohrkern 21



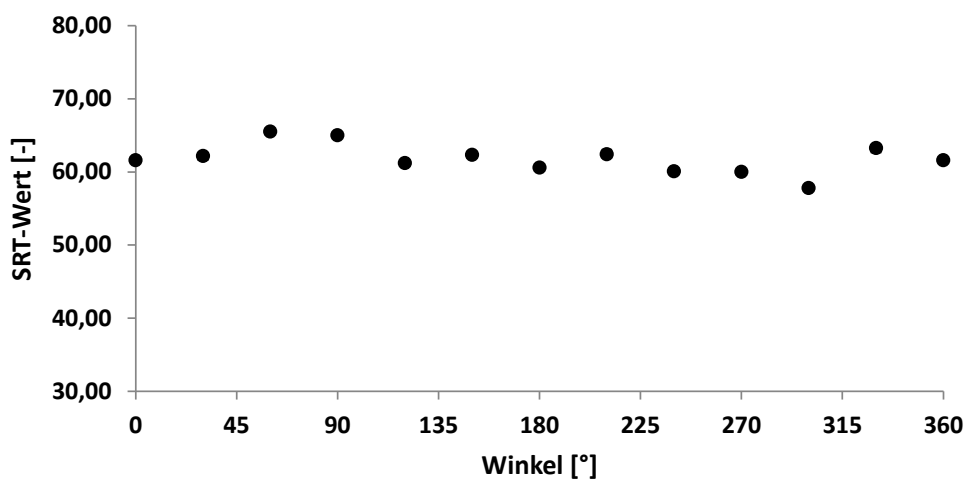
Bohrkern 29



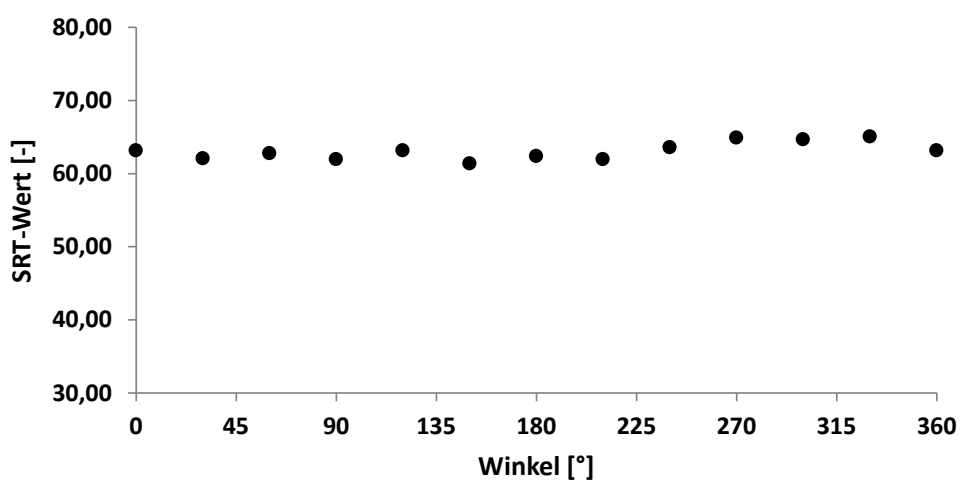
Bohrkern 30

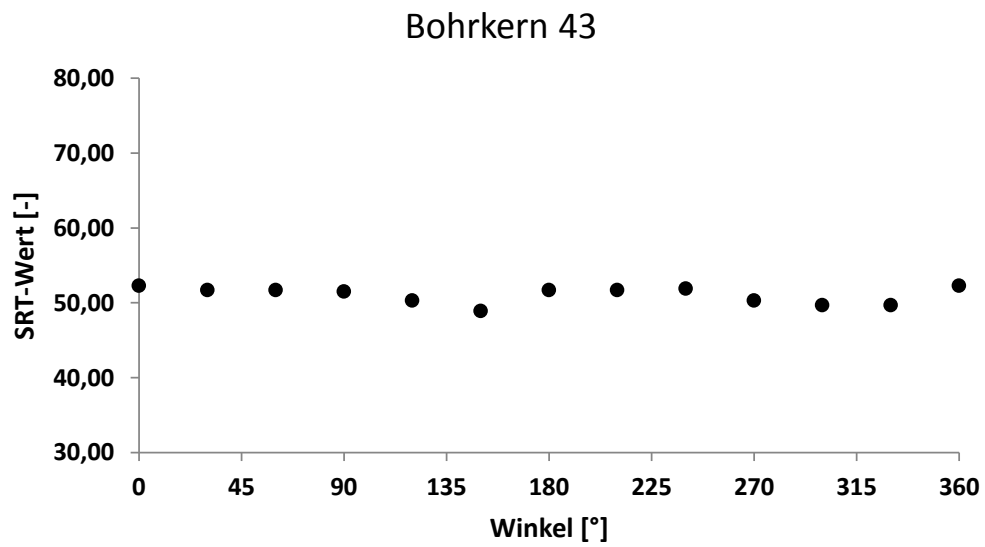
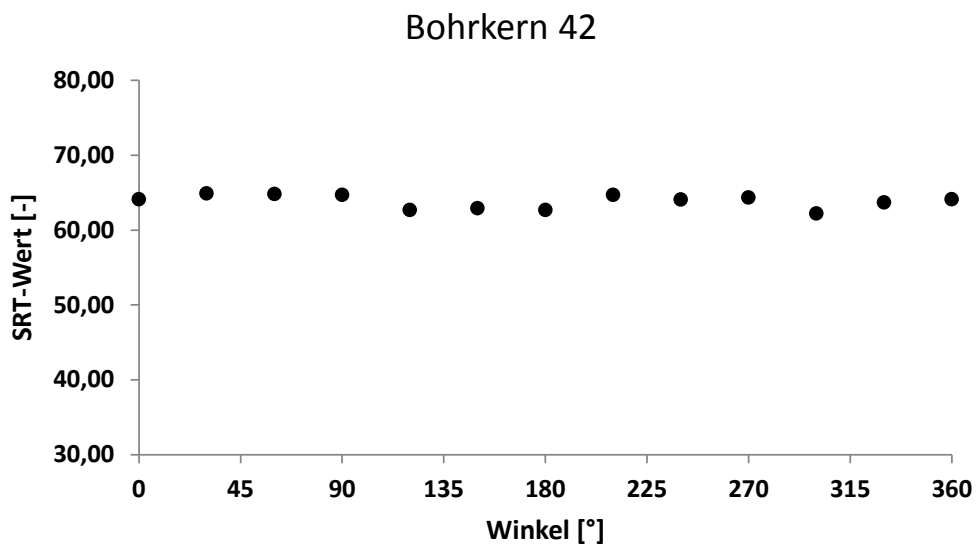
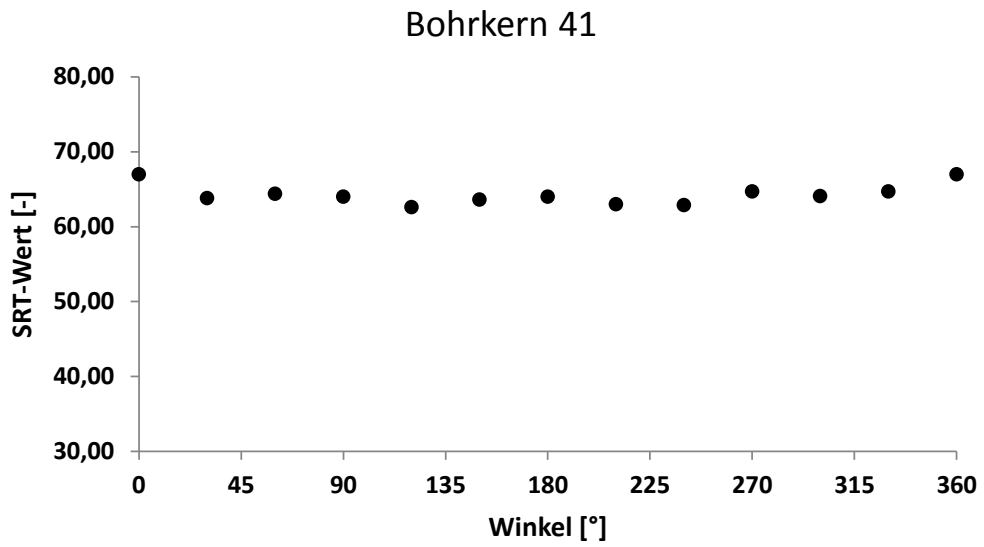


Bohrker 32

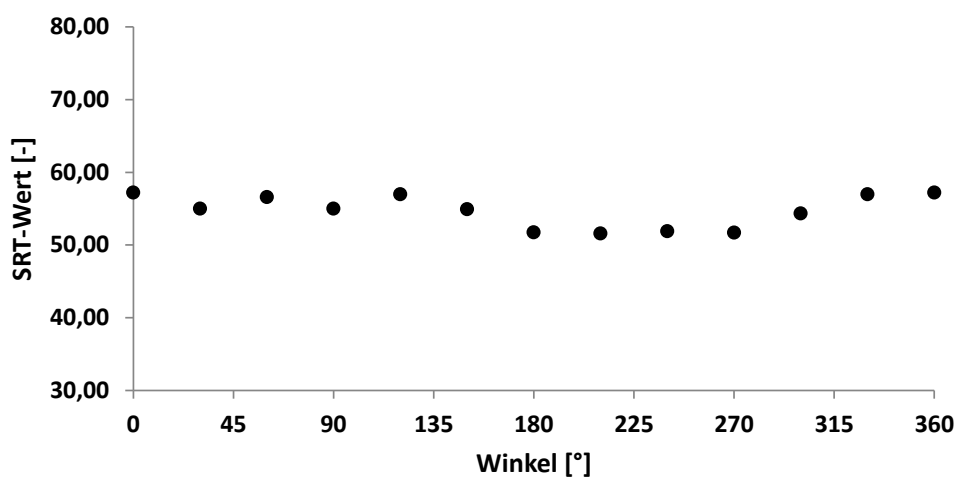


Bohrker 40

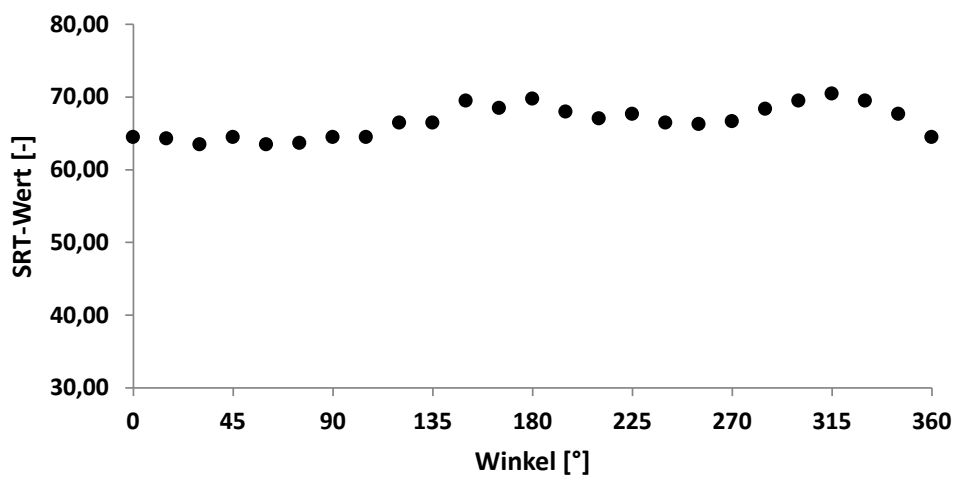




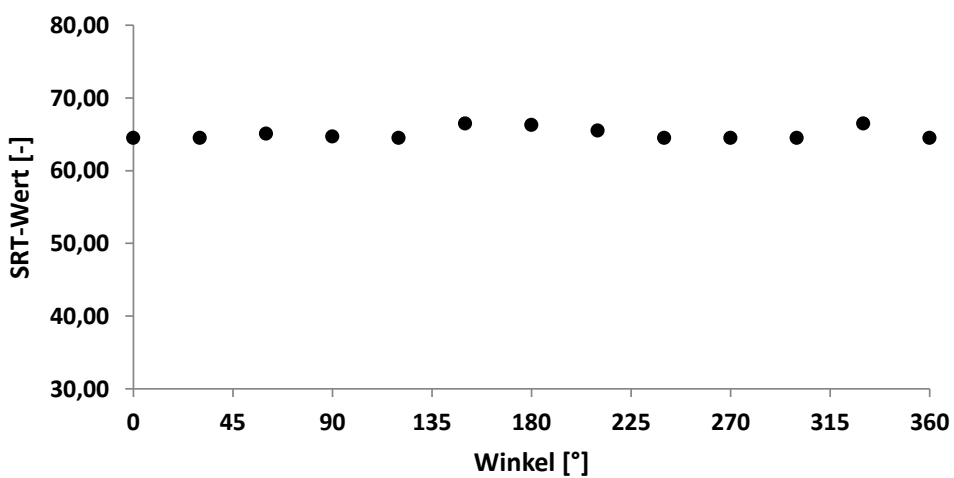
Bohrkern 50



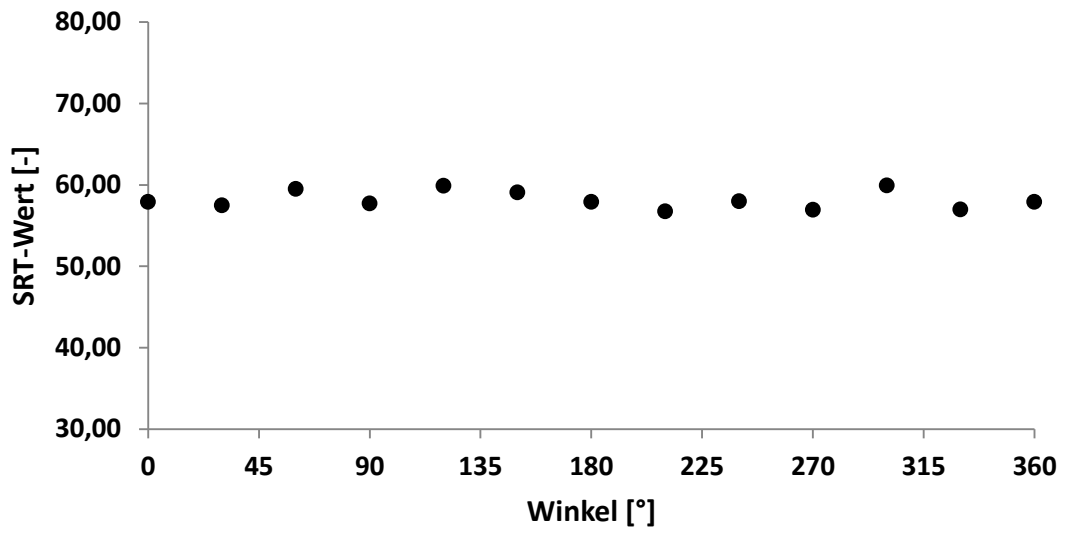
Bohrkern 51



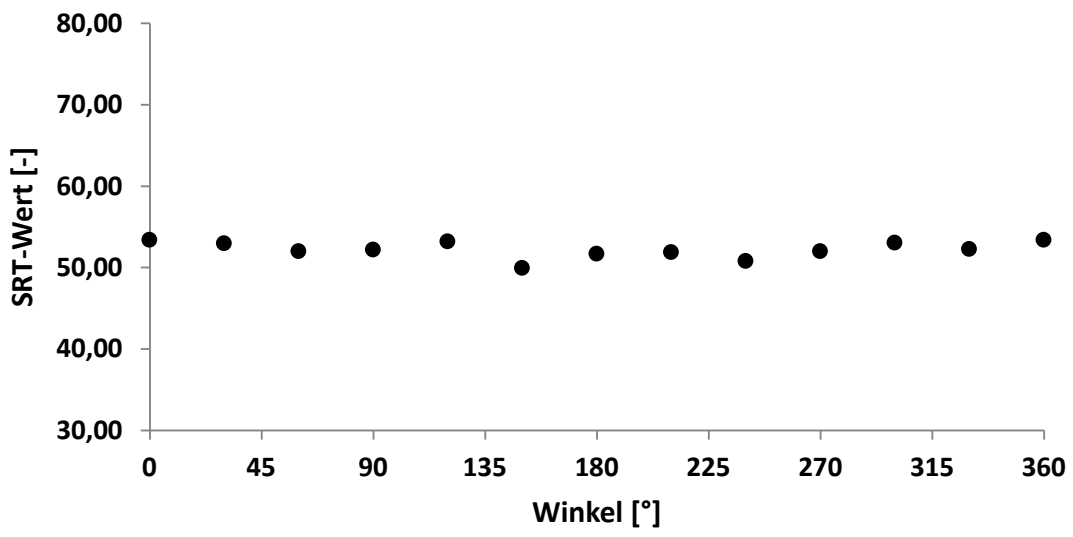
Bohrkern 52



Bohrkern 53



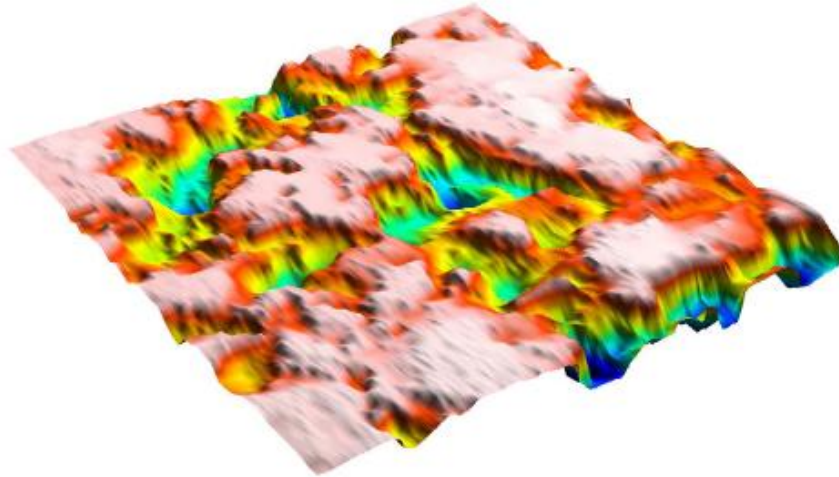
Bohrkern 54



..

Anhang VI: Auswertung des Bohrkerns 4 mit der Software μ soft-Analysis Premium

Beispielhafte Auswertung einer flächenhaft vermessenen Messstelle.



ISO 25178				
Höhen-Parameter				
Sq	0.659	mm		Durchschnittliche quadratische Höhe der Oberfläche
Ssk	-1.4			Schiefe der Oberfläche
Sku	4.53			Kurtosis der Oberfläche
Sp	0.771	mm		Maximale Spitzenhöhe der Oberfläche
Sv	2.53	mm		Maximale Muldenhöhe der Oberfläche
Sz	3.30	mm		Maximale Höhe der Oberfläche
Sa	0.516	mm		Arithmetische Durchschnittshöhe der Oberfläche
Funktions-Parameter (Allgemein)				
Smr	0.000704	%	$c = 0.001$ mm unter dem höchsten Punkt	Materialanteil der Oberfläche
Smc	0.597	mm	$p = 10\%$	Höhe des Materialanteils der Oberfläche
Sxp	2.04	mm	$p = 50\%, q = 97.5\%$	Extreme Spitzenhöhe der Oberfläche
Raum-Parameter				
Sal	2.29	mm	$s = 0.2$	Autokorrelations-Länge der Oberfläche
Str	0.737		$s = 0.2$	Textur-Aussehensverhältnis der Oberfläche
Std	26.5	°		Textur-Richtung der Oberfläche
Hybrid-Parameter				
Sdq	2.33			RMS-Gradient der Oberfläche
Sdr	128	%		Gestrecktes Aussehensverhältnis der Oberfläche
Funktions-Parameter (Sk)				
Vm	0.00464	mm ³ /mm ²	$p = 10\%$	Materialvolumen der Oberfläche
Vv	0.602	mm ³ /mm ²	$p = 10\%$	Luftvolumen der Oberfläche
Vmp	0.00464	mm ³ /mm ²	$p = 10\%$	Spitzen-Materialvolumen der Oberfläche
Vmc	0.596	mm ³ /mm ²	$p = 10\%, q = 80\%$	Kern-Materialvolumen der Oberfläche
Vvc	0.476	mm ³ /mm ²	$p = 10\%, q = 80\%$	Kern-Luftvolumen der Oberfläche
Vvv	0.126	mm ³ /mm ²	$p = 80\%$	Mulden-Luftvolumen der Oberfläche
Feature-Parameter				
Spd	0.0876	1/mm ²	Pruning = 5%	Spitzendichte der Oberfläche
Spc	55.2	1/mm	Pruning = 5%	Arithmetischer Spitzen-Krümmungsmittelwert der Oberfläche
S10z	1.94	mm	Pruning = 5%	Zehn-Punkte-Höhe der Oberfläche
S5p	0.848	mm	Pruning = 5%	Fünf-Punkte-Spitzenhöhe der Oberfläche
S5v	1.09	mm	Pruning = 5%	Fünf-Punkte-Muldenhöhe der Oberfläche
Sda	0.885	mm ²	Pruning = 5%	Durchschnittlicher Muldenfläche
Sha	2.15	mm ²	Pruning = 5%	Durchschnittlicher Hügelfläche
Sdv	0.251	mm ³	Pruning = 5%	Durchschnittliches Muldenvolumen
Shv	1.07	mm ³	Pruning = 5%	Durchschnittliches Hügelvolumen

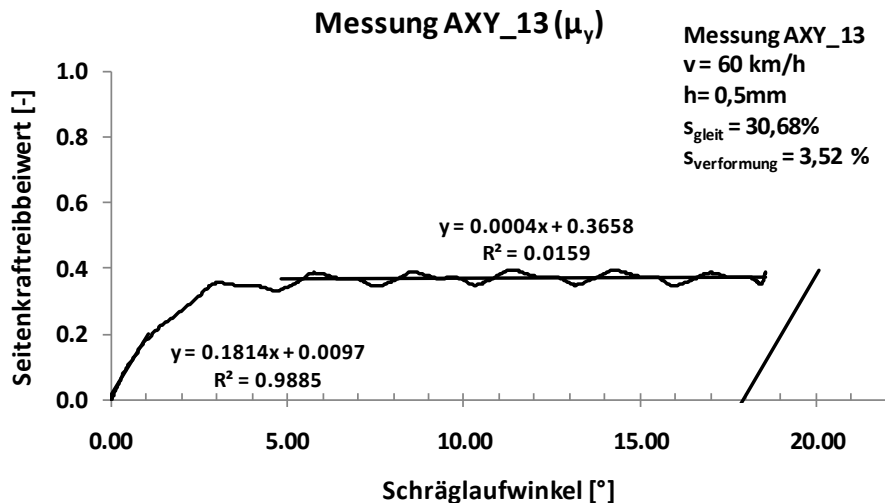
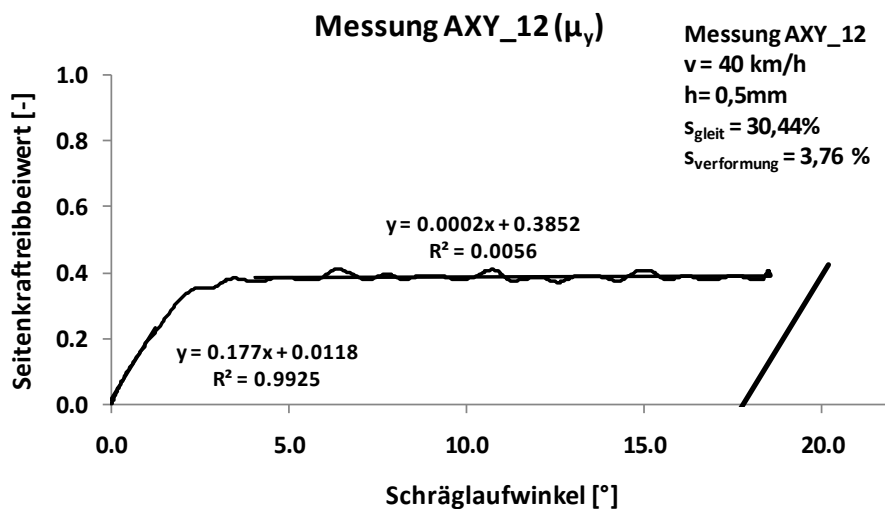
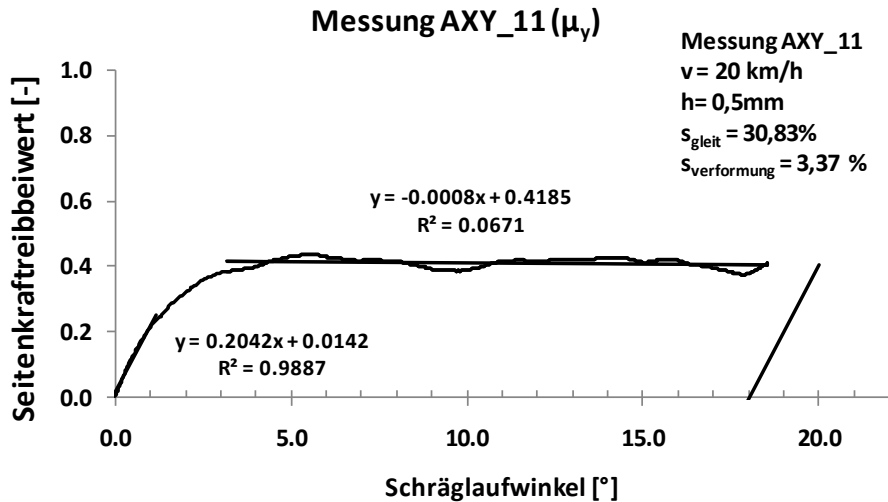
Anhang VII: Tabellarische Daten zu Vorversuchen am Innentrommelprüfstand

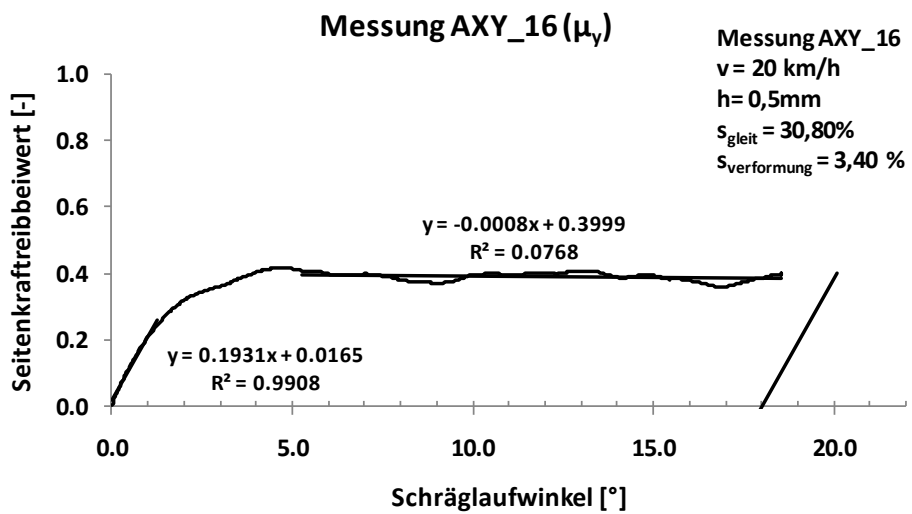
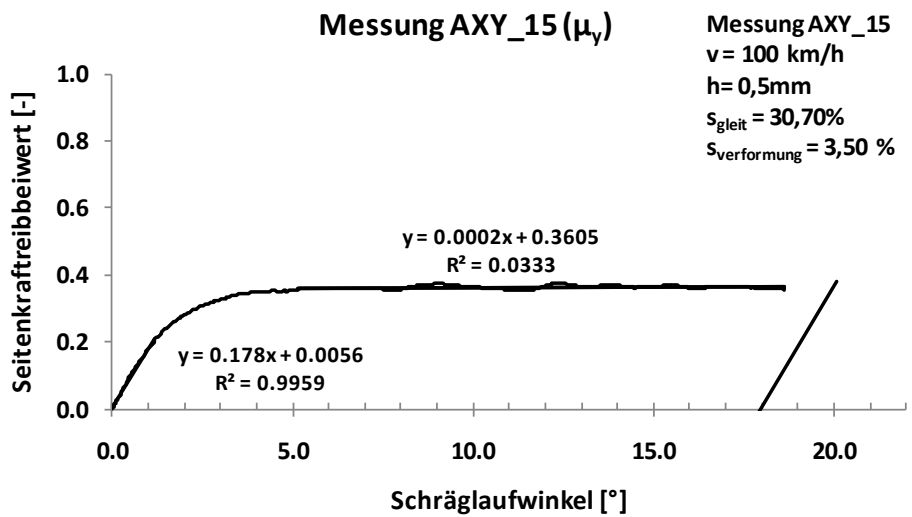
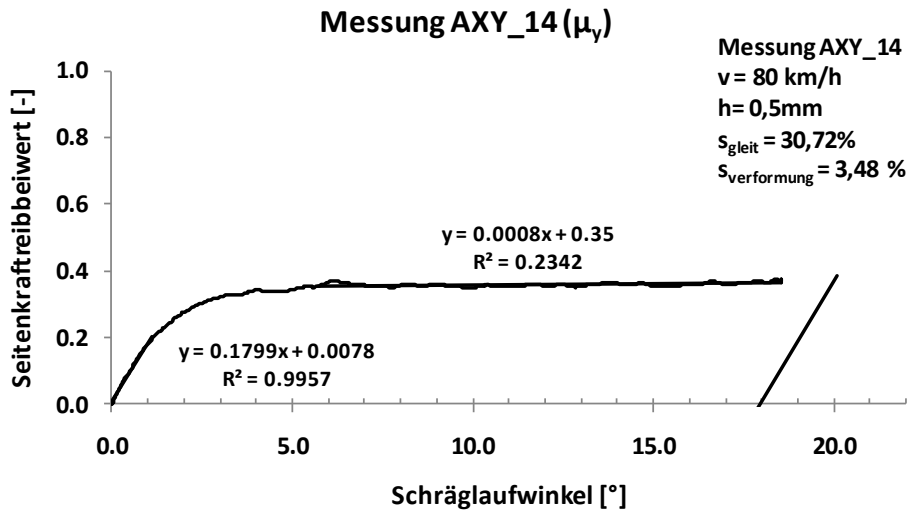
Bild 71		
Makrorauheit des Fahrbahnbelags		
Kassette	MTD "mittlere Texturtiefe" [mm]	Ausflusszeit [s]
2	0,44	3,97
4	0,45	5,88
6	0,42	6,81
8	0,36	6,46
Mittelwert	0,42	5,78
StAbw.	0,04	1,27

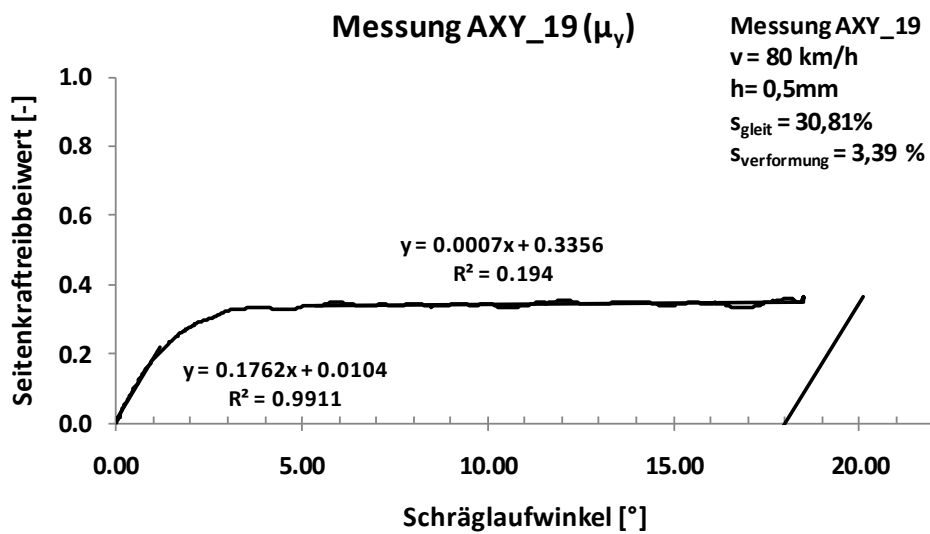
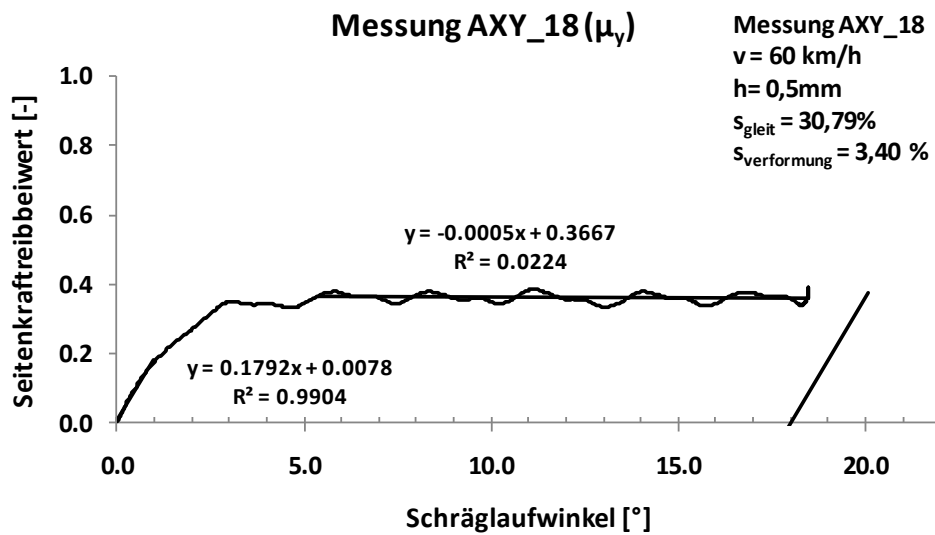
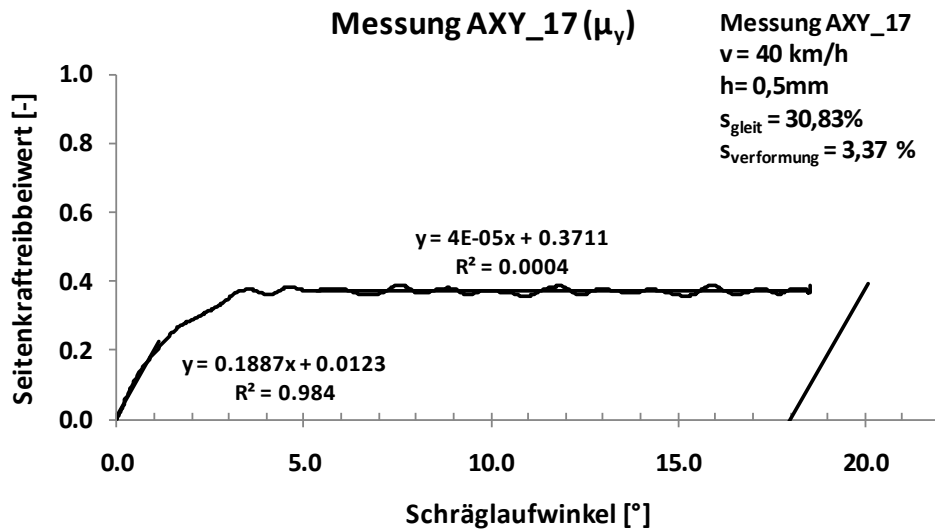
Bild 72	
Makrorauheit des Fahrbahnbelags	
Kassette	SRT [-]
2	46,98
4	49,02
6	48,69
8	49,29
Mittelwert	48,50
StAbw.	1,04

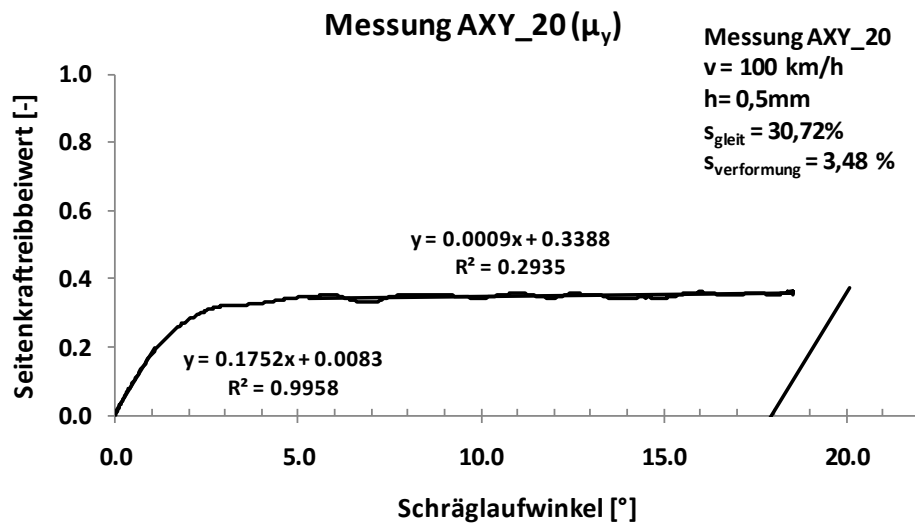
Anhang VIII: Bestimmung des Gleitschlupfanteils am Innentrommelprüfstand

Bei den hier durchgeführten Messungen wurden alle Messbedingungen konstant gehalten, lediglich die Trommelgeschwindigkeit wurde variiert.

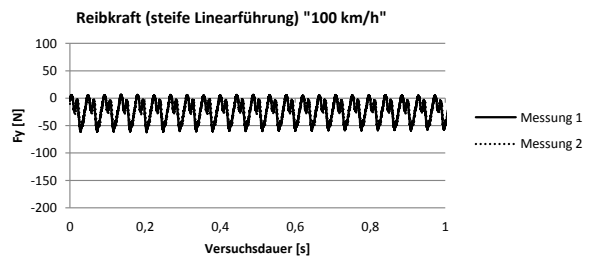
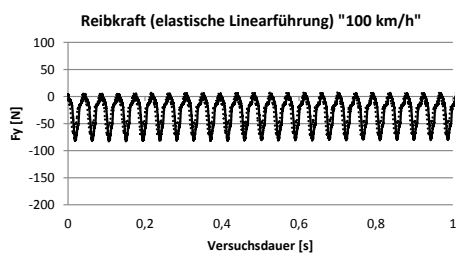
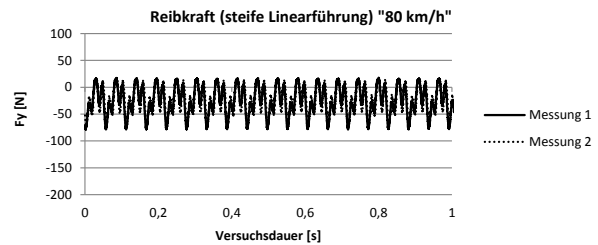
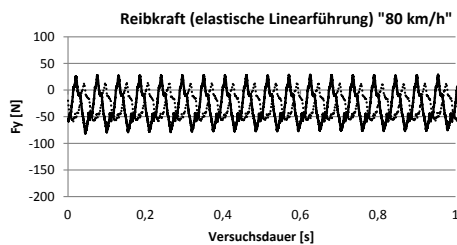
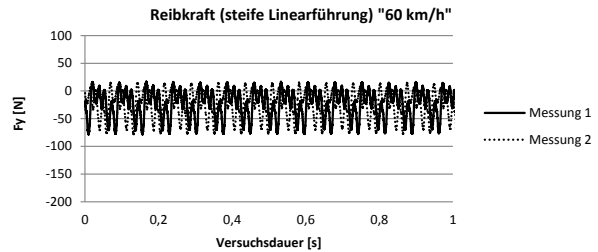
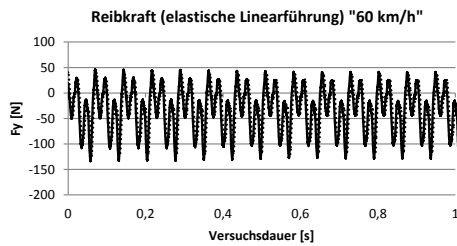
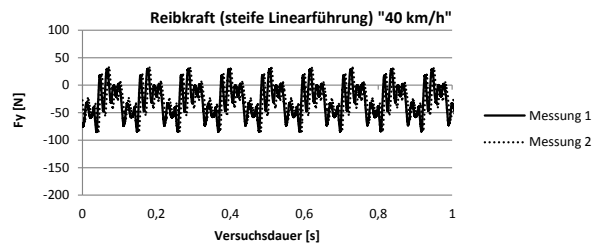
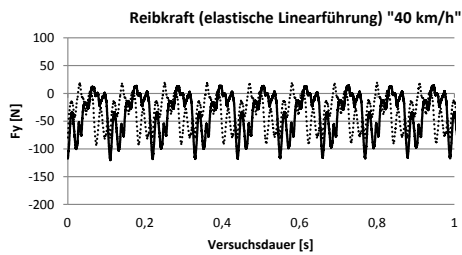
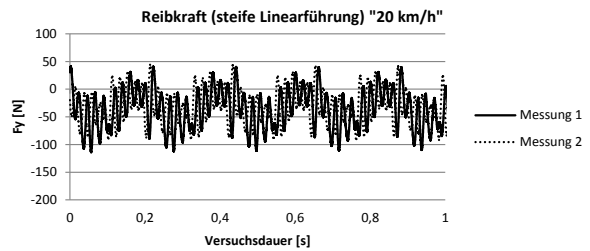
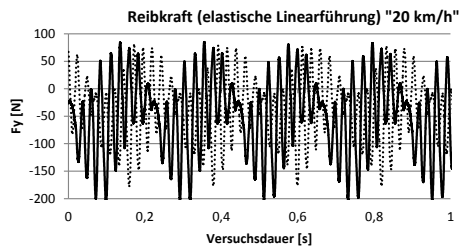








Anhang IX: Einfluss der Prüfstandsteifigkeit auf Griffigkeitsergebnisse



Anhang X: Übersicht der Griffigkeitsergebnisse (GAT)

Wassertemperatur 15°C								
Abdruck	MPD [mm]	SRT [-]	μ_{20} [-]	μ_{40} [-]	μ_{60} [-]	μ_{80} [-]	μ_{100} [-]	Steigung [(km/h) ⁻¹]
4H	0,67	60	0,834	0,679	0,537	0,442	0,356	-0,0059
5H	1,57	53	0,886	0,739	0,656	0,565	0,538	-0,0044
6H	0,33	52	0,649	0,501	0,224	0,199	0,184	-0,0076
7H	0,37	61	0,976	0,792	0,617	0,474	0,331	-0,0079
10H	1,13	66	0,971	0,825	0,706	0,621	0,535	-0,0051
11H	0,47	58	0,977	0,806	0,631	0,510	0,397	-0,0074
14H	0,71	57	0,822	0,672	0,546	0,375	0,300	-0,0074
21H	1,13	52	0,790	0,625	0,506	0,390	0,313	-0,0059
29H	0,94	71	0,866	0,765	0,694	0,588	0,526	-0,0044
30H	0,84	65	0,928	0,772	0,644	0,553	0,453	-0,0055
32H	1,34	60	0,905	0,726	0,626	0,523	0,491	-0,0051
40H	0,88	74	0,837	0,667	0,541	0,393	0,342	-0,0068
41H	0,37	64	0,987	0,798	0,656	0,534	0,416	-0,0066
42H	0,79	64	0,997	0,844	0,698	0,591	0,458	-0,0063
43H	0,86	53	0,941	0,754	0,609	0,501	0,395	-0,0063
50H	0,92	56	0,900	0,740	0,621	0,525	0,450	-0,0054
51H	0,38	60	0,891	0,717	0,562	0,407	0,285	-0,0078
52H	0,33	54	0,819	0,606	0,431	0,280	0,215	-0,0082
53H	0,77	59	0,881	0,754	0,634	0,548	0,490	-0,0051
54H	0,56	62	0,876	0,705	0,586	0,487	0,424	-0,0054

Wassertemperatur 20°C								
Abdruck	MPD [mm]	SRT [-]	μ_{20} [-]	μ_{40} [-]	μ_{60} [-]	μ_{80} [-]	μ_{100} [-]	Steigung [(km/h) ⁻¹]
4H	0,67	60	0,860	0,723	0,608	0,511	0,449	-0,0053
6H	0,33	52	0,687	0,567	0,345	0,199	0,185	-0,0092
14H	0,71	57	0,864	0,750	0,664	0,565	0,474	-0,0046
21H	1,13	52	0,822	0,695	0,592	0,489	0,386	-0,0052
32H	1,34	60	0,926	0,760	0,664	0,579	0,573	-0,0045
40H	0,88	74	0,889	0,741	0,617	0,470	0,401	-0,0068
50H	0,92	56	0,918	0,780	0,666	0,569	0,509	-0,0053
52H	0,33	54	0,862	0,693	0,546	0,387	0,250	-0,0076

Wassertemperatur 25°C								
Abdruck	MPD [mm]	SRT [-]	μ_{20} [-]	μ_{40} [-]	μ_{60} [-]	μ_{80} [-]	μ_{100} [-]	Steigung [(km/h) ⁻¹]
4H	0,67	60	0,872	0,738	0,680	0,603	0,544	-0,0034
6H	0,33	52	0,803	0,643	0,472	0,310	0,188	-0,0083
14H	0,71	57	0,888	0,756	0,635	0,565	0,486	-0,0048
21H	1,13	52	0,784	0,668	0,560	0,501	0,437	-0,0042
32H	1,34	60	0,905	0,800	0,736	0,652	0,636	-0,0037
40H	0,88	74	0,861	0,724	0,616	0,542	0,480	-0,0046
50H	0,92	56	0,906	0,765	0,705	0,605	0,562	-0,0040
52H	0,33	54	0,929	0,716	0,558	0,433	0,308	-0,0071

Wassertemperatur 15°C								
Abdruck	MPD [mm]	SRT [-]	μ_{20} [-]	μ_{40} [-]	μ_{60} [-]	μ_{80} [-]	μ_{100} [-]	Steigung [(km/h)-1]
112H	0,91	83	1,011	0,933	0,825	0,775	0,710	-0,0040
114H	1,23	83	1,002	0,949	0,854	0,809	0,742	-0,0035
115H	1,51	83	1,012	0,979	0,853	0,794	0,752	-0,0046
116H	0,12	62	1,142	0,966	0,779	0,656	0,443	-0,0077

Wassertemperatur 20°C								
Abdruck	MPD [mm]	SRT [-]	μ_{20} [-]	μ_{40} [-]	μ_{60} [-]	μ_{80} [-]	μ_{100} [-]	Steigung [(km/h)-1]
112H	0,91	83	0,998	0,951	0,872	0,822	0,747	-0,0032
114H	1,23	83	1,013	0,966	0,897	0,842	0,776	-0,0031
115H	1,51	83	1,022	0,986	0,902	0,875	0,847	-0,0028
116H	0,12	62	1,052	0,880	0,702	0,532	0,419	-0,0087

Wassertemperatur 25°C								
Abdruck	MPD [mm]	SRT [-]	μ_{20} [-]	μ_{40} [-]	μ_{60} [-]	μ_{80} [-]	μ_{100} [-]	Steigung [(km/h)-1]
112H	0,91	83	0,960	0,944	0,921	0,835	0,843	-0,0027
114H	1,23	83	1,016	1,008	0,909	0,873	0,827	-0,0034
115H	1,51	83	1,036	1,012	0,965	0,902	0,867	-0,0028
116H	0,12	62	1,168	1,023	0,885	0,736	0,550	-0,0072

Anhang XI: Übersicht der Griffigkeitsergebnisse (IPS)

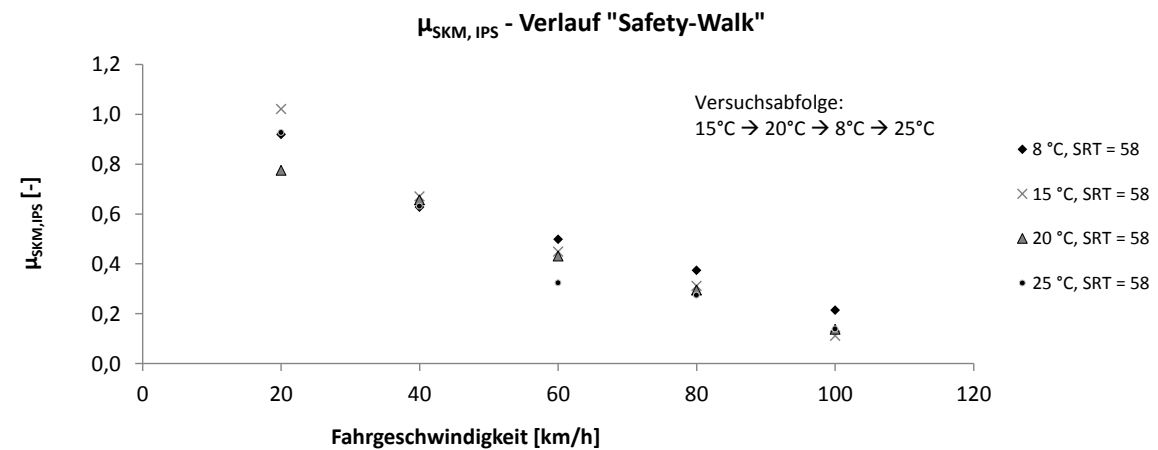
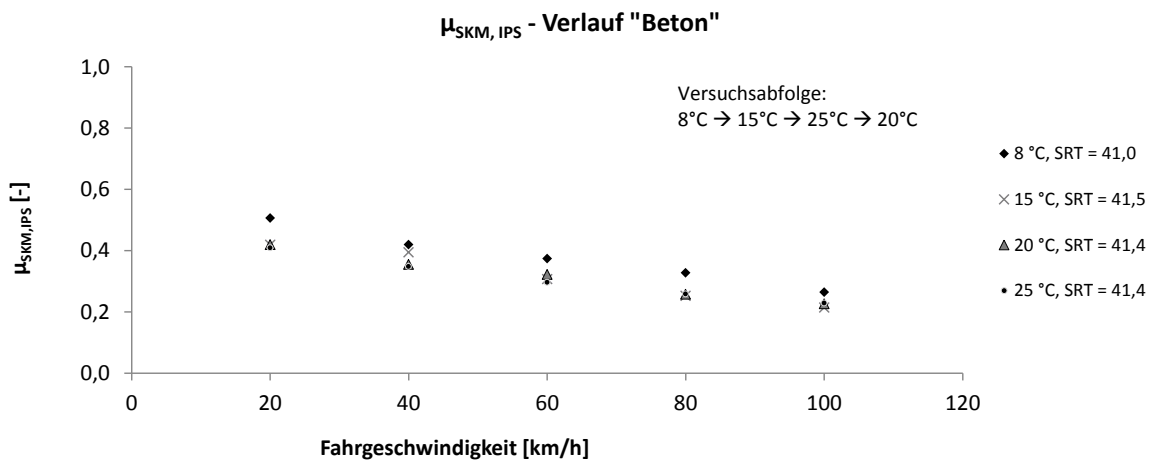
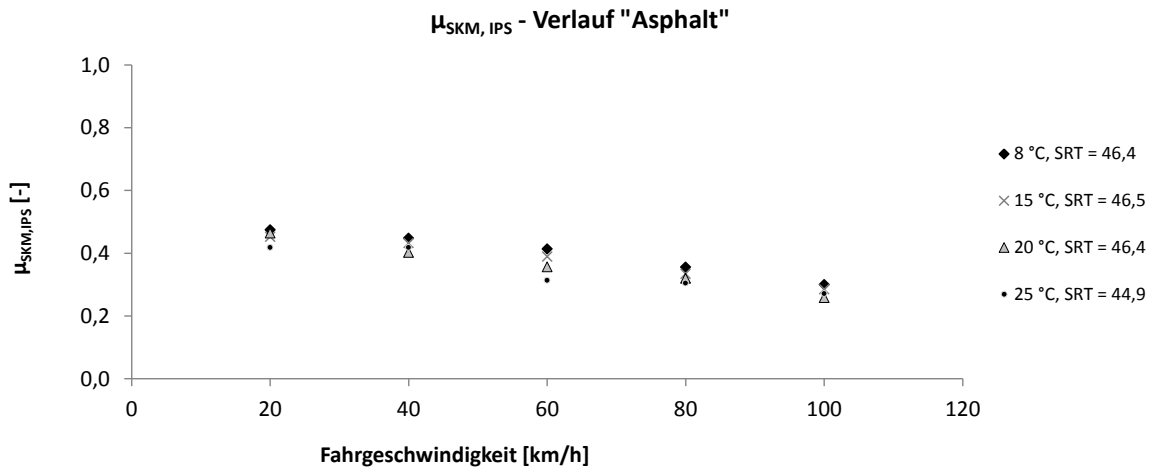
Wassertemperatur 8°C								
Fahrbahn	MPD [mm]	SRT [-]	μ_{20} [-]	μ_{40} [-]	μ_{60} [-]	μ_{80} [-]	μ_{100} [-]	Steigung m [(km/h) ⁻¹]
Asphalt	0,51	47	0,475	0,448	0,414	0,355	0,300	-0,0023
Beton	0,53	43	0,506	0,419	0,374	0,327	0,264	-0,0023
Safety-Walk	0,21	58	0,920	0,628	0,499	0,375	0,215	-0,0063

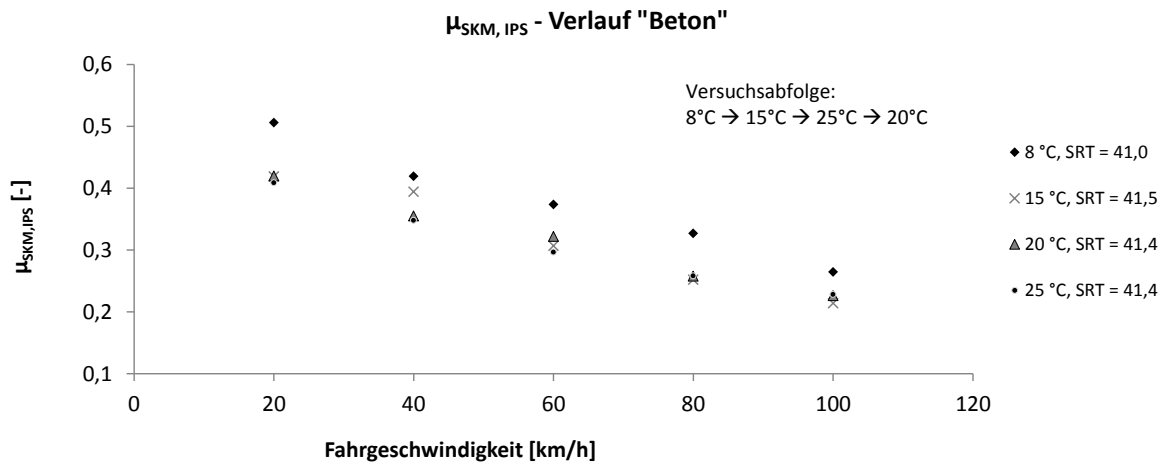
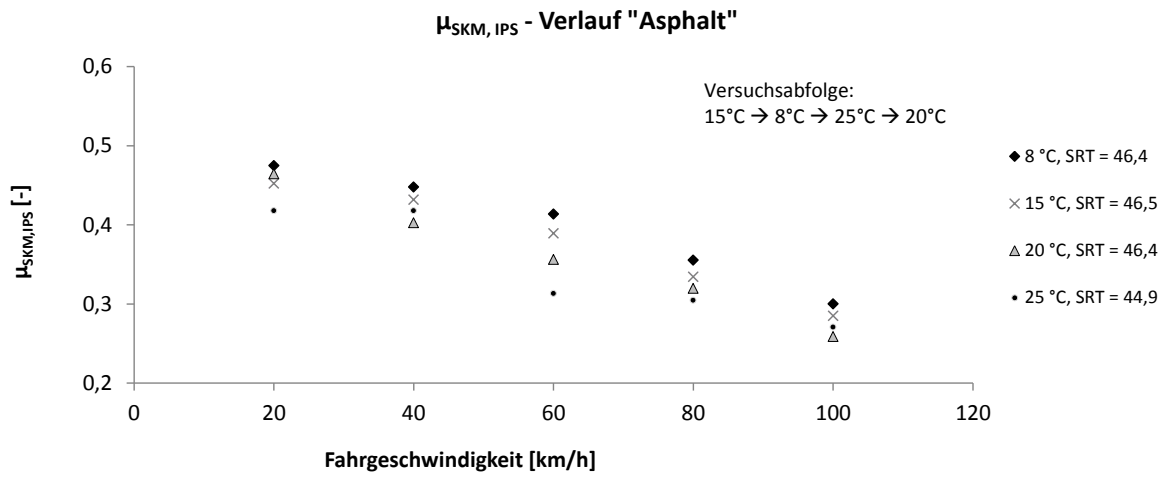
Wassertemperatur 15°C								
Fahrbahn	MPD [mm]	SRT [-]	μ_{20} [-]	μ_{40} [-]	μ_{60} [-]	μ_{80} [-]	μ_{100} [-]	Steigung m [(km/h) ⁻¹]
Asphalt	0,51	47	0,452	0,432	0,389	0,334	0,285	-0,0024
Beton	0,53	43	0,419	0,394	0,307	0,252	0,214	-0,0036
Safety-Walk	0,21	58	1,022	0,671	0,450	0,312	0,112	-0,0090

Wassertemperatur 20°C								
Fahrbahn	MPD [mm]	SRT [-]	μ_{20} [-]	μ_{40} [-]	μ_{60} [-]	μ_{80} [-]	μ_{100} [-]	Steigung m [(km/h) ⁻¹]
Asphalt	0,51	47	0,464	0,403	0,356	0,320	0,259	-0,0021
Beton	0,53	43	0,419	0,355	0,322	0,257	0,226	-0,0024
Safety-Walk	0,21	58	0,776	0,657	0,432	0,296	0,138	-0,0090

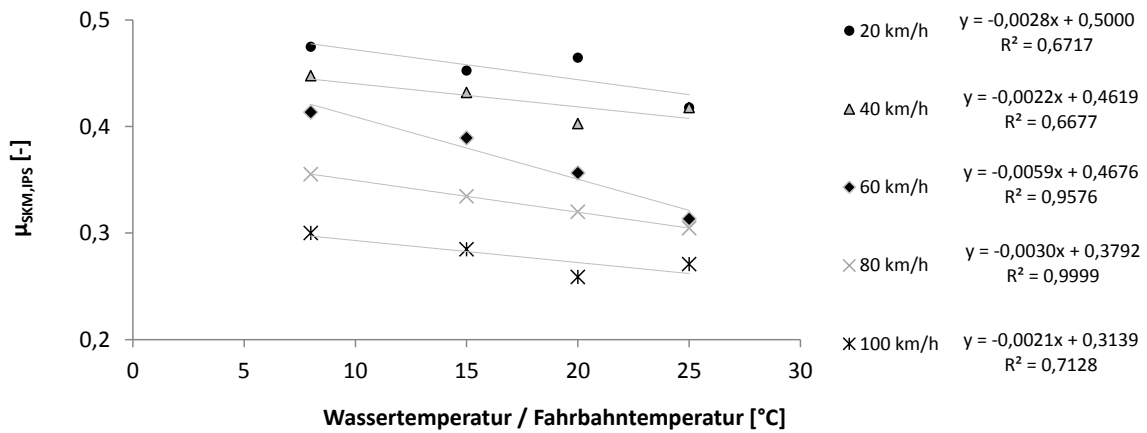
Wassertemperatur 25°C								
Fahrbahn	MPD [mm]	SRT [-]	μ_{20} [-]	μ_{40} [-]	μ_{60} [-]	μ_{80} [-]	μ_{100} [-]	Steigung m [(km/h) ⁻¹]
Asphalt	0,51	47	0,418	0,418	0,313	0,304	0,271	-0,0028
Beton	0,53	43	0,408	0,347	0,296	0,258	0,228	-0,0022
Safety-Walk	0,21	58	0,927	0,631	0,323	0,274	0,138	-0,0089

Anhang XII: Einfluss der Wassertemperatur auf die Griffigkeitsergebnisse am IPS

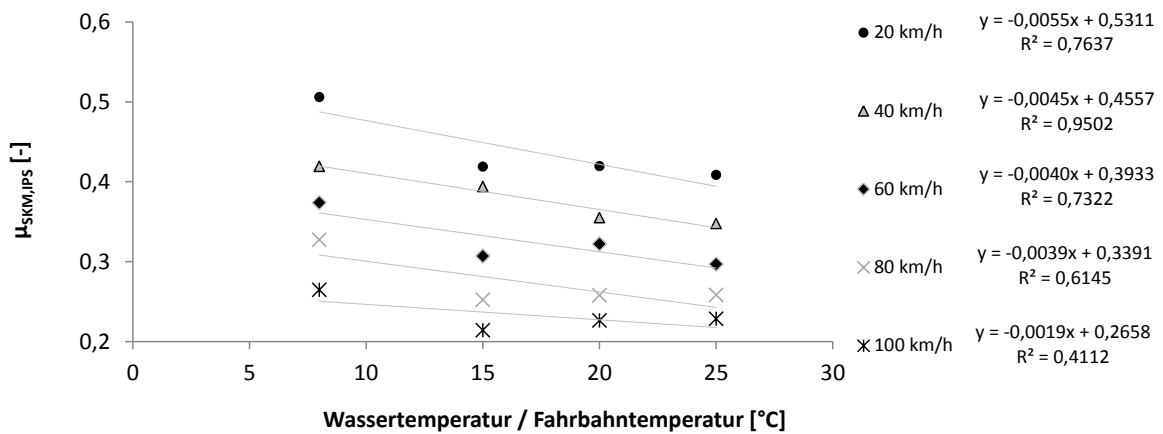




Temperaturabhängigkeit des $\mu_{SKM,IPS}$ - Verlaufes "Asphalt"



Temperaturabhängigkeit des $\mu_{SKM,IPS}$ - Verlaufes "Beton"



Temperaturabhängigkeit des $\mu_{SKM,IPS}$ - Verlaufes "Safety-Walk"

